

Příprava laboratorních úloh pro předmět Identifikace náhodných procesů

Preparation of laboratory tasks for course identification of random
processes

Radim Horňák

Univerzita Tomáše Bati ve Zlíně
Fakulta aplikované informatiky
akademický rok: 2009/2010

ZADÁNÍ BAKALÁŘSKÉ PRÁCE

(PROJEKTU, UMĚLECKÉHO DÍLA, UMĚLECKÉHO VÝKONU)

Jméno a příjmení: Radim HORŇÁK
Osobní číslo: A06151
Studijní program: B 3902 Inženýrská informatika
Studijní obor: Informační a řídicí technologie

Téma práce: Příprava laboratorních úloh pro předmět Identifikace náhodných procesů

Zásady pro vypracování:

1. Proměřte reálnou tepelnou soustavu pomocí generátoru PNBS a náhodného signálu.
2. Vyhodnoťte statistické charakteristiky vstupních a výstupních signálů.
3. Soustavu aproximujte modelem druhého řádu a proveďte odhad parametrů modelu regresními metodami na základě naměřených vstupních a výstupních signálů.
4. Proveďte odhad impulsní funkce metodami korelační analýzy.
5. Navrhněte zadání laboratorních úloh a vypracujte vzorové protokoly.

Rozsah bakalářské práce:

Rozsah příloh:

Forma zpracování bakalářské práce: **tištěná/elektronická**

Seznam odborné literatury:

1. Kubalčík M.: Cvičení z předmětu identifikace systémů, UTB ve Zlíně, 2006, 80-7318-497-4
2. Bobál V.: Identifikace systémů, UTB ve Zlíně, 2009, 978-80-7318-888-7
3. Mikleš J., Fikar M.: Identifikácia systémov, STU Bratislava , 1999, 80-227-1177-2
4. Noskovič P.: Modelování a identifikace systémů, Montanex, 1999, 80-7225-030-2
5. Balátě, J.: Automatické řízení, BEN, 2003, ISBN 80-7300-020-2

Vedoucí bakalářské práce: **doc. Ing. Marek Kubalčík, Ph.D.**
Ústav řízení procesů

Datum zadání bakalářské práce: **5. března 2010**

Termín odevzdání bakalářské práce: **1. června 2010**

Ve Zlíně dne 5. března 2010


prof. Ing. Vladimír Vašek, CSc.
děkan




doc. Ing. Ivan Zelinka, Ph.D.
ředitel ústavu

ABSTRAKT

Cílem bakalářské práce byla formulace a vzorové vypracování laboratorních úloh z předmětu Identifikace náhodných procesů. Úlohy jsou zaměřeny na vyhodnocení základních statistických vlastností náhodných signálů a na využití náhodných signálů pro identifikaci dynamických systémů.

Klíčová slova: Náhodný signál, generátor PNBS, statistické charakteristiky, regresní metody, metoda nejmenších čtverců, korelační analýza.

ABSTRACT

The main aim of the Bachelor thesis is formulation and prefigurative elaboration of laboratory tasks for the course Identification of random processes. The tasks are focused in evaluation of basic statistical properties of random signals and utilization of random signals in identification of dynamical systems.

Keywords: Random signal, generator PNBS, statistical characteristics, regression methods, least squares method, correlation analysis.

Dovoluji si tímto poděkovat vedoucímu bakalářské práce panu Ing. Marku Kubalčíkovi, Ph.D., za odborné vedení, rady a za čas, kterými věnoval při zpracování této bakalářské práce.

Prohlašuji, že

- beru na vědomí, že odevzdáním bakalářské práce souhlasím se zveřejněním své práce podle zákona č. 111/1998 Sb. o vysokých školách a o změně a doplnění dalších zákonů (zákon o vysokých školách), ve znění pozdějších právních předpisů, bez ohledu na výsledky obhajoby;
- beru na vědomí, že bakalářská práce bude uložena v elektronické podobě v univerzitním informačním systému dostupná k prezenčnímu nahlédnutí, že jeden výtisk bakalářské práce bude uložen v písemné knižní podobě v knihovně Fakulty aplikované informatiky Univerzity Tomáše Bati ve Zlíně a jeden výtisk bude uložen u vedoucího práce;
- byl/a jsem seznámen/a s tím, že na moji bakalářskou práci se plně vztahuje zákon č. 121/2000 Sb. o právu autorském, o právech souvisejících s právem autorským a o změně některých zákonů (autorský zákon) ve znění pozdějších právních předpisů, zejména § 35 odst. 3;
- beru na vědomí, že podle § 60 odst. 1 autorského zákona má UTB ve Zlíně právo na uzavření licenční smlouvy o užití školního díla v rozsahu § 12 odst. 4 autorského zákona;
- beru na vědomí, že podle § 60 odst. 2 a 3 autorského zákona mohu užít své dílo – bakalářskou práci nebo poskytnout licenci k jejímu využití jen s předchozím písemným souhlasem Univerzity Tomáše Bati ve Zlíně, která je oprávněna v takovém případě ode mne požadovat přiměřený příspěvek na úhradu nákladů, které byly Univerzitou Tomáše Bati ve Zlíně vytvořeny a vynaloženy (až do jejich skutečné výše);
- beru na vědomí, že pokud bylo k vypracování bakalářské práce využito softwaru poskytnutého Univerzitou Tomáše Bati ve Zlíně nebo jinými subjekty pouze ke studijním a výzkumným účelům (tedy pouze k nekomerčnímu využití), nelze výsledky bakalářské práce využít ke komerčním účelům;
- beru na vědomí, že pokud je výstupem bakalářské práce jakýkoliv softwarový produkt, považují se za součást práce rovněž i zdrojové kódy, popříj. soubory, ze kterých se projekt skládá. Neodevzdáním této součásti u mě byt dříve odemkne obhajobu práce.

Prohlašuji,

- že jsem na bakalářské práci pracoval samostatně a použitou literaturu jsem citoval. V případě publikace výsledků budu uveden jako spoluautor.
- že odevzdaná verze bakalářské práce a verze elektronická nahraná do IS/STAG jsou totožné.

Ve Zlíně

.....

Radim Hor

ňák

OBSAH

ÚVOD	10
I TEORETICKÁ ČÁST	11
1 STATISTICKÉ METODY IDENTIFIKACE SYSTÉMŮ	12
1.1 NÁHODNÉ PROCESY	12
1.2 ZÁKLADNÍ STATISTICKÉ CHARAKTERISTIKY	12
1.2.1 Statistické charakteristiky prvního řádu	12
1.2.2 Statistické charakteristiky druhého řádu	13
1.3 PSEUDONÁHODNÝ BINÁRNÍ SIGNÁL - PNBS	15
1.3.1 Generátor PNBS	15
1.3.2 Složení generátoru PNBS	15
1.3.3 Vlastnosti nastavení generátoru PNBS	16
1.4 METODY NEJMENŠÍCH ČTVERCŮ	21
1.4.1 Jednorázová metoda nejmenších čtverců	22
1.4.2 Rekurzivní metoda nejmenších čtverců	24
1.5 KORELAČNÍ ANALÝZA	26
1.5.1 Stochastická formulace dynamického systému	26
2 CHARAKTERISTIKY LINEÁRNÍCH DYNAMICKÝCH SYSTÉMŮ	29
2.1 IMPULSNÍ CHARAKTERISTIKA	29
2.2 PŘECHODOVÁ CHARAKTERISTIKA	29
2.3 APROXIMACE PŘECHODOVÝCH CHARAKTERISTIK	30
2.4 APROXIMACE TREJCOVOU METODOU	30
II PRAKTICKÁ ČÁST	32
3 ZADÁNÍ PROTOKOLŮ	33
3.1 ZADÁNÍ PROTOKOLU 1	33
3.2 ZADÁNÍ PROTOKOLU 2	35
3.3 ZADÁNÍ PROTOKOLU 3	36
3.4 ZADÁNÍ PROTOKOLU 4	36
4 VZOROVÉ VYPRACOVÁNÍ PROTOKOLU 1	37
4.1 MĚŘENÍ POMOCÍ NÁHODNÉHO SIGNÁLU	37
4.2 MĚŘENÍ POMOCÍ SIGNÁLU PNBS	38
4.3 SIMULACE POMOCÍ NÁHODNÉHO SIGNÁLU	39
4.4 SIMULACE POMOCÍ PNBS	40
4.5 SIMULACE PŘECHODOVÉ FUNKCE	41
4.6 VÝPOČET STŘEDNÍCH HODNOT A ROZPTYLŮ MĚŘENÍ	42
4.6.1 Náhodné signály	42
4.6.2 PNBS signály	42

4.7	VÝPOČET STŘEDNÍCH HODNOT A ROZPTYL Ů SIMULACE	43
4.7.1	Náhodné signály	43
4.7.2	PNBS signály	43
4.8	KOVARIANČNÍ MATICEM ĚŘENÍ	44
4.8.1	Náhodné signály	44
4.8.2	PNBS signály	44
4.9	KOVARIANČNÍ MATICE SIMULACE	45
4.9.1	Náhodné signály	45
4.9.2	PNBS signály	45
4.10	AUTOKORELAČNÍ FUNKCE A VZÁJEMNÉ KORELAČNÍ FUNKCE M ĚŘENÍ	46
4.10.1	Náhodné signály	46
4.10.2	PNBS signály	47
4.11	AUTOKORELAČNÍ FUNKCE A VZÁJEMNÉ KORELAČNÍ FUNKCE SIMULACE	48
4.11.1	Náhodné signály	48
4.11.2	PNBS signály	49
4.12	AUTOKOVARIANČNÍ FUNKCE A VZÁJEMNÉ KOVARIANČNÍ FUNKCE M ĚŘENÍ	49
4.12.1	Náhodné signály	50
4.12.2	PNBS signály	50
4.13	AUTOKOVARIANČNÍ FUNKCE A VZÁJEMNÉ KOVARIANČNÍ FUNKCE SIMULACE	51
4.13.1	Náhodné signály	51
4.13.2	PNBS signály	52
5	VZOROVÉ VYPRACOVÁNÍ PROTOKOLU 2	53
5.1	NAMĚŘENÁ PŘECHODOVÁ CHARAKTERISTIKA	53
5.2	APROXIMACE PŘECHODOVÉ CHARAKTERISTIKY STREJCOVOU	53
5.3	VÝKONOVÝ SPEKTRÁLNÍ HUSTOTA SOUSTAVY AGENERÁTORU PNBS	56
5.3.1	M ěření PNBS	56
5.3.2	Simulace PNBS	58
5.4	SROVNÁNÍ PŘUBĚHŮ VÝKONOVÉ SPEKTRÁLNÍ HUSTOTY SOUSTAVY A GENERÁTORU PNBS	61
5.4.1	M ěření PNBS	61
5.4.2	Simulace PNBS	62
5.5	DISKRÉTNÍ PŘENOSADIFERENČNÍ ROVNICE	62
6	VZOROVÉ VYPRACOVÁNÍ PROTOKOLU 3	63
6.1	IMPULSNÍ FUNKCE ZÍSKANÉ KORELAČNÍ ANALÝZOU	63
6.1.1	M ěření	63
6.1.2	Simulace	63
6.2	IMPULSNÍ FUNKCE ZÍSKANÉ PŘÍKAZEM IMPULSE	64
6.2.1	Zadaný přenos	64
6.2.2	Aproximační přenos	64
7	VZOROVÉ VYPRACOVÁNÍ PROTOKOLU 4	65
7.1	METODA NEJMENŠÍCH ČTVERCŮ PRO NAMĚŘENÁ DATA	65
7.1.1	Explicitní metoda	65

7.1.2	Rekurzivní metoda.....	65
7.2	METODY NEJMENŠÍCH ČTVERCŮ PRO NASIMULOVANÁ DATA	65
7.2.1	Explicitní metoda.....	65
7.2.2	Rekurzivní metoda.....	66
7.3	GRAFICKÉ ZOBRAZENÍ ODHADŮ PARAMETRŮ A PREDIKCE MĚŘENÍ	66
7.3.1	Náhodný signál	66
7.3.2	PNBS	67
7.4	GRAFICKÉ ZOBRAZENÍ ODHADŮ PARAMETRŮ A PREDIKCE SIMULACE	68
7.4.1	Náhodný signál	68
7.4.2	PNBS	69
7.5	SROVNÁNÍ PŘECHODOVÝCH CHARAKTERISTIK MĚŘENÍ.....	71
7.5.1	Náhodný signál	71
7.5.2	PNBS	71
7.6	SROVNÁNÍ PŘECHODOVÝCH CHARAKTERISTIK SIMULACE	72
7.6.1	Náhodný signál	72
7.6.2	PNBS	72
	ZÁVĚR.....	73
	CONCLUSION.....	74
	SEZNAM POUŽITÉ LITERATURY	75
	SEZNAM POUŽITÝCH SYMBOLŮ A ZKRATEK	76
	SEZNAM OBRÁZKŮ.....	77
	SEZNAM TABULEK	80
	SEZNAM PŘÍLOH.....	81

ÚVOD

Bakalářská práce bude zaměřena na návrh úloh pro předmět Identifikace náhodných procesů a jejich vzorové vypracování. Úlohy budou zaměřeny na vyhodnocení základních statistických vlastností náhodných signálů a využití náhodných signálů pro identifikaci dynamických systémů. Součástí práce je vytvoření vzorových protokolů.

Náhodné procesy se využívají v řadě disciplín. Například v matematice se používají k numerickému výpočtu integrálů nebo diferenciálních rovnic, v biologii k popisu šíření chorob nebo v ekonomii k modelování řad cen akcií. Tato bakalářská práce je zaměřena na vyhodnocení statistických vlastností a simulovaných náhodných signálů a jejich využití pro analýzu dynamických vlastností reálné tepelné soustavy, která je k dispozici v laboratoři, kde probíhá výuka daného předmětu.

V úlohách se využívá také pseudonáhodný binární signál (PNBS), který má řadu vhodných vlastností. Má výhodné vlastnosti pro experimentální určení impulsní odezvy dynamické soustavy. Jednou z nejdůležitějších vlastností těchto signálů je, že zjednodušují statistickou identifikaci soustavy odstraněním potíží spočítáním Wienerovy-Hopfovy rovnice. Tyto signály se snadno generují a umožňují zjednodušení přístrojové techniky potřebné pro uskutečnění experimentu.

I. TEORETICKÁ ČÁST

1 STATISTICKÉ METODY IDENTIFIKACE SYSTÉMŮ

Identifikací [1] se rozumí poznávací proces, kdy na základě poznatky a vědomosti o zkoumaném objektu ztotožňujeme s jeho skutečnými vlastnostmi. Statistické metody identifikace využívají náhodných procesů na vstupu a výstupu zkoumaného objektu. Vyhodnocení se provádí využitím metod matematické statistiky. Nejpoužívanější jsou korelační a regresní metody.

1.1 Náhodné procesy

Náhodný proces [3] je funkce času, která nabývá náhodných hodnot, o kterých předem nevíme jaké to budou hodnoty. Průběh náhodného procesu je tedy dílem náhody. Příkladem náhodného procesu může být fyzikální veličina, které naměříme. Důvodem je to, že naměřené veličiny působí různými poruchami.

Vlastnosti náhodných procesů mohou být popsány pomocí matematické statistiky a teorie pravděpodobností. Náhodné procesy nelze pospat analyticky. Nemůžeme určit přesnou hodnotu, ale jen rozmezí hodnot ve kterém se nachází náhodná veličina. Náhodné veličiny dle míry spojitosti mohou být diskrétní.

1.2 Základní statistické charakteristiky

Statistické charakteristiky dělíme na dvě skupiny. První skupinou jsou statistické charakteristiky prvního řádu. Postihují pouze okamžité hodnoty náhodných veličin, ale nejsou schopny postihnout rychlost náhodných změn v průběhu realizace náhodného procesu. Mezi tyto charakteristiky patří střední hodnota, rozptyl, kovariance, kovarianční matice. Druhou skupinu nazýváme statistické charakteristiky druhého řádu. Mezi tyto charakteristiky patří korelační funkce, kovarianční funkce a výkonová spektrální hustota.

1.2.1 Statistické charakteristiky prvního řádu

Nejnámější statistickou charakteristikou prvního řádu je střední hodnota. Je definována pomocí vzorce:

$$\hat{\mu}_u = \frac{1}{N} \sum_{k=1}^N u(k) \quad 1$$

Rozptyl je definován jako střední hodnota kvadrátů odchylek od střední hodnoty. U rozptylu se užeme v praxi setkat také s označením variace nebo disperse. Pro rozptyl používáme označení σ^2 .

$$\hat{\sigma}_u^2 = \frac{1}{N} \sum_{k=1}^N [u(k) - \hat{\mu}_u]^2 \quad 2$$

Kovarianční označujeme střední hodnotou součinu odchylek dvou náhodných veličin od jejich středních hodnot. Při výpočtech raději používáme koeficient korelace, který je definován vztahem:

$$\hat{r}(U, Y) = \frac{\hat{C}(U, Y)}{\hat{\sigma}_u \hat{\sigma}_y} \quad 3$$

$$\hat{C}(U, Y) = \frac{1}{N} \sum_{k=1}^N (u(k) - \hat{\mu}_u)(y(k) - \hat{\mu}_y) \quad 4$$

kde $\hat{C}(U, Y)$ je kovariance náhodných veličin U, Y a $\hat{\sigma}_u, \hat{\sigma}_y$ jsou směrodatné odchylky (odmocnina rozptylu).

Kovarianční matice je definována vztahem:

$$C(X) = \begin{bmatrix} \hat{\sigma}_u^2 & C(U, Y) \\ C(U, Y) & \hat{\sigma}_y^2 \end{bmatrix}, \quad X^T = [U, Y] \quad 5$$

kde $\hat{C}(U, Y)$ a $\hat{C}(Y, U)$ je kovariance náhodných veličin U, Y .

1.2.2 Statistické charakteristiky druhého řádu

Dotyčnými charakteristikami korelační funkce, která je definována vztahy:

$$\hat{R}_{uu}(i) = \frac{1}{N-i} \sum_{k=1}^{N-i} u(k) \cdot u(k+i) \quad i = 0, 1, \dots, m \quad 6$$

$$\hat{R}_{yy}(i) = \frac{1}{N-i} \sum_{k=1}^{N-i} y(k) \cdot y(k+i) \quad i = 0, 1, \dots, m \quad 7$$

dále potom vzájemná korelační funkce:

$$\hat{R}_{uy}(i) = \frac{1}{N-i} \sum_{k=1}^{N-i} u(k)y(k+i) \quad i = 0, 1, \dots, m_8$$

kovarianční funkce:

$$\hat{C}_{uu}(i) = \frac{1}{N-i} \sum_{k=1}^{N-i} (u(k) - \hat{\mu}_u)(u(k+i) - \hat{\mu}_u) \quad i = 0, 1, \dots, m_9$$

$$\hat{C}_{yy}(i) = \frac{1}{N-i} \sum_{k=1}^{N-i} (y(k) - \hat{\mu}_y)(y(k+i) - \hat{\mu}_y) \quad i = 0, 1, \dots, m_{10}$$

avzájemná kovarianční funkce:

$$\hat{C}_{uy}(i) = \frac{1}{N-i} \sum_{k=1}^{N-i} (u(k) - \hat{\mu}_u)(y(k+i) - \hat{\mu}_y) \quad i = 0, 1, \dots, m_{11}$$

Další ze statistických charakteristik druhého řádu je spektrální výkonová hustota je charakteristika vyjádřena ve frekvenční oblasti a je definována jako Fourierova transformace autokorelační funkce:

$$S_{xx}(\omega) = \int_{-\infty}^{\infty} R_{xx}(\tau) e^{-j\omega\tau} d\tau \quad 12$$

Zpětná Fourierova transformace má tvar:

$$R_{xx}(\tau) = \frac{1}{2\pi} \int_{-\infty}^{\infty} S_{xx}(j\omega) e^{j\omega\tau} d\omega \quad 13$$

Integrál ze spektrální výkonové hustoty je přímoúhelný rozptyl u druhémocnině střední hodnoty.

1.3 Pseudonáhodný binární signál-PNBS

Signál PNBS [5] je nutné realizovat pomocí elektronických prvků číslicové techniky. Jako elektronické prvky se používají číslicové filtry nebo analogicky zapojené posuvné registry. Tyto prvky musí mít takové parametry, aby reálný objekt nebyl vzhledem k omezení vlastní setrvačnosti rozeznat periodu opakované posloupnosti.

Vlastnosti signálu PNBS pro celistvou periodu, která se dá podle potřeby zkracovat nebo prodlužovat použitím různých algoritmů generování, se blíží vlastnostem bílého šumu. Bílý šum je signál s konstantní výkonovou spektrální hustotou pro všechny frekvence. Signály PNBS jsou snadno realizovatelné, reprodukovatelné a snadné změny spektra signálu. Proto jsou v dnešní praxi velmi rozšířené.

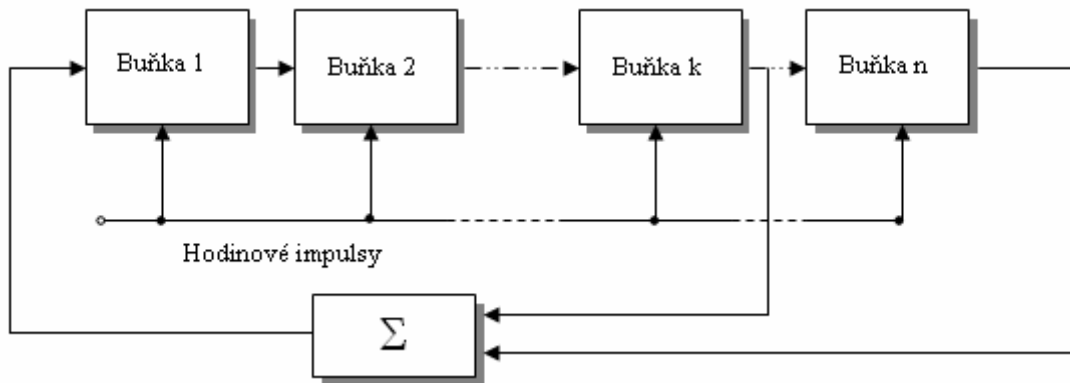
1.3.1 Generátor PNBS

Má velký význam pro identifikaci. Jedná se v podstatě o deterministický binární signál s konstantní a reprodukovatelnou periodou, generovaný podle jednoznačně definovaného rekurentního vzorce. Signál je nutné realizovat pomocí elektronických prvků číslicové techniky s takovými parametry, že reálný objekt není schopen vzhledem k omezení vlastní setrvačnosti rozeznat periodu opakované posloupnosti a spektrální diskretnost. Vlastnosti tohoto signálu pro celistvou periodu, která se dá podle potřeby zkracovat nebo prodlužovat použitím různých algoritmů generování, se blíží vlastnostem bílého šumu, tj. signál s konstantní výkonovou spektrální hustotou pro všechny frekvence. Vlastnosti tohoto signálu nejenom zjednoduší teoretický aparát při použití neparametrických metod korelační analýzy, ale zkracují dobu měření. Amplituda tohoto signálu může být zvolena řádově stejně velká jako amplituda přirozeného šumu identifikovaného objektu.

1.3.2 Složení generátoru PNBS

Hlavní částí generátoru pseudonáhodného binárního signálu (PNBS) je n -stupňový posuvný registr se zpětnou vazbou. Výstup k -tého stupně registru jsou vedeny do sčítačky modulo 2 (logická funkce nejednoznačnost – nonekvivalence), jejíž logickou operací vyjadřuje pravdivostní tabulka. Jednotlivé stupně registru se přepínají hodinovými impulsy, takže obsah registru se cyklicky posouvá o jeden stupeň. Je zřejmé, že výstup registru, vzatý z n -tého stupně (m může se vzít z kteréhokoliv stupně registru), bude

periodický s periodou A diskrétních hodnot, odpovídá n -tému stupni n -řadového registru. Je přirozené, že délka periody bude závislá na početnostu n registru a na pořadí i v řadě vazby. Blokové schéma generátoru je na obrázku 1.



Obrázek 1: Blokové schéma generátoru PNBS

1.3.3 Vlastnosti nastavení generátoru PNBS

Na výstupu libovolného stupně registru získáme diskrétní signál, který má obecně tyto vlastnosti:

- a) nabývá pouze dvou hodnot – „0“ a „1“ v hodnotách použitých elektronických prvků
- b) posloupnost výstupních binárních signálů je periodická s periodou

$$T = N \cdot \Delta t$$

a	b	f
0	0	0
0	1	1
1	0	1
1	1	0

Tabulka 1: Pravdiv

ostní tabulka

kde $N = 2^a - 1$ je bezrozměrná perioda PNBS (číslo, udávající počet možných stavů registru s výlučením nulového stavu), Δt je interval hodinových impulsů, funkce nonekvivalence

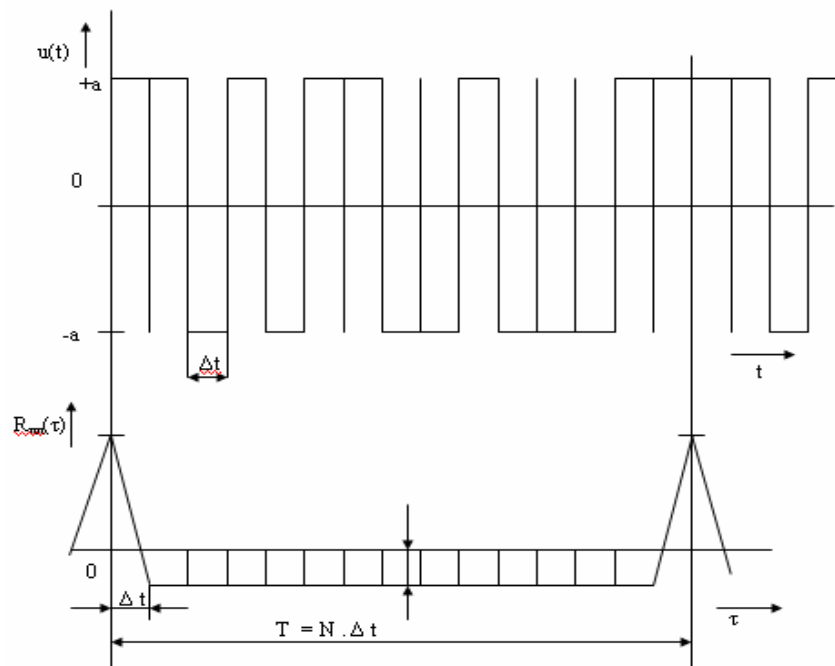
c) k přechodům mezi hodnotami „log0“ a „log1“ můžeme dojit jen v čase celistvých násobků hodinových impulsů.

Maximálně dlouhý sled impulsů v jedné periodě získáme pouze tehdy, jestliže navstoupí obvod nonekvivalence přivedeme signály jen z výstupů určitých stupňů registru. V tabulce 2 je uveden způsob propojení a odpovídají $N = 2^a - 1$ pro různé počty stupňů (bitů) posuvného registru.

Počet bitů	n-tý výstup	k-tý výstup	$N = 2^a - 1$
3	3	1NEBO2	7
4	4	1,3	15
5	5	2,3	31
6	6	1,5	63
7	7	1,4,6	127
8	8	-	-
9	9	4,5	511

Tabulka 2: Propojení způsobné vazby regulátoru PNBS

Posloupnost, kterou získáme z generátoru PNBS je periodická, jak je zřejmé z obrázku, kde je zobrazen signál odpovídající autokorelační funkci.



Obrázek 2: Časový průběh PNBS a jeho autokorelační funkce

Pro autokorelační funkci PNBS se dá odvodit vztah:

$$R_{uu}(\tau) = a^2 \left[1 - \frac{|\tau|}{\Delta t} \frac{N+1}{N} \right] \quad \text{pro } |\tau| < \Delta t \quad 14$$

$$R_{uu}(\tau) = -\frac{a^2}{N} \quad \text{pro } \Delta t \leq |\tau| \leq (N-1)\Delta t \quad 15$$

Fourierovou transformací vztahu (14) obdržíme výkonovou spektrální hustotu

$$S_{uu}(\omega) = \frac{a^2(N+1)\Delta t}{N} \sum_{r=1}^N \left[\frac{\sin \frac{r\pi}{N}}{\frac{r\pi}{N}} \right]^2 \quad 16$$

Pro $\omega \ll N$ je výraz v hranaté závorce velmi blízký jedné, z čehož plyne, že při nízkých frekvencích bude hodnota výkonové spektrální hustoty

$$S_{uu}(\omega) = \frac{a^2(N+1)\Delta t}{N} \quad 7$$

Efektivní frekvenční pásmo f_{ef} je možno stanovit výpočtem ze vztahu (16) pro pokles $S_{uu}(\omega)$ o 3 dB, odkud dostaneme

$$f_{ef} = \left(\frac{1}{N\Delta t}, \frac{1}{3\Delta t} \right) \quad 18$$

Frekvenční pásmo je možné měnit změnou Δt , tj. změnou frekvence hodinových impulsů generátoru a volbou počtu stupňů registru n . Je to velká přednost takto generovaného PNBS vůči ostatním způsobům, protože změnou uvedených parametrů je možné plochou část výkonové spektrální hustoty posunout do libovolně zadané oblasti frekvencí.

Další předností takto generovaného PNBS je jeho stabilita, tj. nezávislost charakteristik signálu na čase, teplotě a v úbec změnách okolí, což u jiných generátorů bílého šumu je obtížné zaručit. Projednauzvolené parametry:

n – počet stupňů registru, Δt – interval hodinových impulsů, $\pm a$ – amplituda uspořádání zpětné vazby, jsou charakteristiky signálu (autokorelační funkce a spektrální výkonová hustota) perfektně reprodukovatelné. Dále je možno pomocí i jednoho generátoru generovat i více nekorelovaných signálů, což je zvláště důležité při identifikaci mnoho rozměrových objektů.

Věnujme nyní pozornost parametrům PNBS maximální délky a sice volbě intervalu Δt a délce posloupnosti N . Jelikož je PNBS periodickým signálem s periodou $T = N \Delta t$, je výkonové spektrum diskrétní se základní harmonickou

$$\omega_1 = \frac{2\pi}{N\Delta t} \quad 19$$

Fourierovým rozvojem PNBS se dá ukázat, že amplitudy složek výkonové spektrální hustoty o frekvencích $\omega_1, \omega_2, \dots, \omega_{(N-1)/2}$ jsou stejně velké, amplitudy složek o frekvencích $\omega > \omega_{(N-1)/2}$, jejichž amplituda je ještě stejně velká, jako amplituda prvních harmonických, je

$$\omega_{(N-1)/2} = \frac{2\pi}{N\Delta t} \frac{N-1}{2} = \frac{\pi}{\Delta t} \frac{N-1}{N} \quad 20$$

Pro $N \gg 1$ tedy:

$$\omega_{(N-1)/2} = \frac{\pi}{\Delta t} \quad 21$$

tz. ženejvyšší frekvence spektra je dán interval Δt :

$$f_h = \frac{\omega}{2\pi} = \frac{0,5}{\Delta t} \quad 22$$

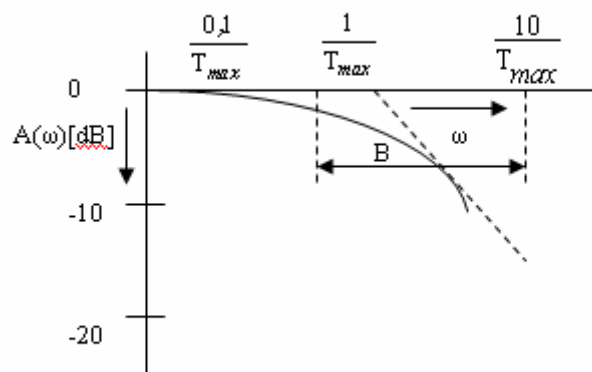
Nejnižší frekvence spektra je dána délkou periody P NBS:

$$f_d = \frac{1}{N\Delta t} \quad 23$$

Dynamické vlastnosti objektu budeme posuzovat podle maximální časové konstanty T_{max} , která se dá zjistit například zjednodušenou matematicko-fyzikální analýzou, nebo hrubou aproximací naměřených přechodových charakteristik charakteristik soustavy 1. řádu. Pásmo frekvencí B , které mají rozhodující vliv na dynamické chování objektu, můžeme hrubě vymezit na amplitudové frekvenční charakteristice soustavy 1. řádu podle Obr.3. Mezní frekvence tohoto frekvenčního pásma jsou

$$f_{min} = \frac{0,5}{2\pi T_{max}} \quad 24$$

$$f_{max} = \frac{10}{2\pi T_{max}} = 20 f_{min} \quad 25$$



Obrázek 3: Logaritmická amplitudová frekvenční charakteristika 1. řádu

Parametry PNBS volíme tak, aby oblast rovnoměrného spektra PNBS pokrývala pásmo B, tj. aby platilo:

$$f_d < f_{min} \quad 26$$

$$f_h > f_{max} \quad 27$$

Dosažení rovnic (22)–(25) do nerovností (26)–(27) obdržíme podmínky

$$\Delta t < 0.314 T_{max}; \quad N \Delta t > 12.56 T_{max} \quad 28$$

Znovu je nutno upozornit, že uvedené vztahy byly odvozeny za určitých zjednodušujících předpokladů, a proto je třeba provést zřetelnou kontrolu parametrů PNBS na základě frekvenčních charakteristik modelu.

Amplituda vstupního signálu se volí pokud možno co nejvyšší, aby se zvýšila úroveň užitelného výstupního signálu oproti šumu. Proto bychom požadavkem je omezení amplitudy vstupního signálu tak, aby pracovní oblast ležela v lineární části statické charakteristiky a aby nebyl narušen normální chod zařízení.

Sotázkou volby vstupního signálu souvisí i volba periody vzorkování T . Vyjdeme-li z požadavku minimálně dvou vzorků z jedné periody nejvyšší vyhodnocené frekvence, potom z rovnice (22) snadno odvodíme, že u PNBS s danými obřezovanými parametry je možno periodu vzorkování zvolit stejně jako interval Δt , takže $T = \Delta t$.

Doba měření je závislá na dynamickém chování objektu. Pro objekty s velkými časovými konstantami je nutno počítat s tím, že měření potrvá i několik dní. Při proměření objektů náhodnými aperiodickými signály by se mělo doba měření zvolit co nejdelší, u PNBS minimálně doba dvou period.

1.4 Metod nejmenších čtverců

Odhad parametrů číslicového modelu metodou nejmenších čtverců [2] patří mezi metody regresní analýzy, které patří rovněž mezi statistické metody identifikace. Tyto metody jsou vhodné pro vyšetřování statických i dynamických vlastností systémů a jsou široce využívány pro identifikaci procesů.

1.4.1 Jednorázová metoda nejmenších čtverců

Uvažujeme jednorozměrový stochastický proces popsaný modelem ARX, kdy předpokládáme postupně oboupolynom úrovně n .

$$A(z^{-1})y = B(z^{-1})u + n_s \quad 29$$

kde n_s je nesečitelná náhodná složka. Regresní model ARX se často zapisuje v kompaktní vektorové formě:

$$y(k) = \Theta^T \phi(k-1) + n_s(k) \quad 30$$

kde vektor parametrů Θ a vektor dat nabývají tvarů:

$$\Theta^T = [a_1, a_2, \dots, a_n, b_1, b_2, \dots, b_n] \quad 31$$

$$\phi^T(k-1) = [-y(k-1), -y(k-2), \dots, -y(k-n), u(k-1), u(k-2), \dots, u(k-n)] \quad 32$$

Postupným dosazováním všech naměřených hodnot do regresního modelu dostáváme maticovou rovnici:

$$y = F\Theta + e \quad 33$$

kde matice F o rozměru $(N-n, 2n)$ má tvar:

$$\begin{bmatrix} -y(n) & -y(n-1) & \dots & -y(1) & u(n) & u(n-1) & \dots & u(1) \\ -y(n+1) & -y(n) & \dots & -y(2) & u(n+1) & u(n) & \dots & u(2) \\ \vdots & & & & & & & \vdots \\ -y(N-1) & -y(N-2) & \dots & -y(N-n) & u(N-1) & u(N-2) & \dots & u(N-n) \end{bmatrix} \quad 34$$

a vektor y o rozměru $(N-n)$ má tvar:

$$y^T = [y(n+1), y(n+2), \dots, y(N)] \quad 35$$

kde N je počet naměřených vstupních a výstupních dat.

Z rovnice (33) pak můžeme určit chybu (rozdíl mezi naměřenou hodnotou a hodnotou vypočtenou z regresního modelu). Stejná značka nad jednotlivými veličinami znamená, že se jedná o odhad:

$$\hat{e} = y - F\hat{\Theta} \quad 36$$

$$\hat{e}^T = [\hat{e}(n+1), \hat{e}(n+2), \dots, \hat{e}(N)] \quad 37$$

azavedeme kritérium:

$$J_R = \hat{e}^T \hat{e} \quad 38$$

minimum získáme když první derivaci rovnice (38) po dle vektoru parametrů položíme rovnu 0, tj.:

$$\left. \frac{\partial J}{\partial \Theta} \right|_{\Theta = \hat{\Theta}} = 0 \quad 39$$

Řešení této rovnice získáme základní maticový tvar pro odhad parametrů modelu metodou nejmenších čtverců tvaru:

$$\hat{\Theta} = (F^T F)^{-1} F^T y \quad 40$$

vztah (40) pak slouží pro jednorázový výpočet odhadů parametrů modelu procesu použitím N naměřených dat.

Vhodným modelem pro popis celé řady procesů je soustava druhého řádu s různými časovými konstantami. Tomuto spojitému přenosu odpovídá v diskrétní verzi přenos ve tvaru:

$$G(z) = \frac{b_1 z^{-1} + b_2 z^{-2}}{1 + a_1 z^{-1} + a_2 z^{-2}} = \frac{Y(z)}{U(z)} \quad 41$$

Řád systému n volme tedy 2. Výše obecně definované vektory a matice tedy pro tento konkrétní případ nabývají tvaru

$$\hat{\boldsymbol{\theta}}^T = [\hat{a}_1, \hat{a}_2, \hat{b}_1, \hat{b}_2] \quad 42$$

$$\boldsymbol{\phi}^T(k-1) = [-y(k-1), -y(k-2), u(k-1), u(k-2)] \quad 43$$

$$\mathbf{F} = \begin{bmatrix} -y(2) & -y(1) & u(2) & u(1) \\ -y(3) & -y(2) & u(3) & u(2) \\ \vdots & \vdots & \vdots & \vdots \\ -y(N-1) & -y(N-2) & u(N-1) & u(N-2) \end{bmatrix} \quad 44$$

$$\mathbf{y}^T = [y(3), y(4), \dots, y(N)] \quad 45$$

$$\hat{\mathbf{e}}^T = [\hat{e}(3), \hat{e}(4), \dots, \hat{e}(N)] \quad 6$$

1.4.2 Rekurzivní metody nejmenších čtverců

V této verzi se používají nově naměřené hodnoty pouze pro opravu (korekci) původních odhadů, čímž klesá výpočetní složitost identifikačních algoritmů. Rekurzivní algoritmy umožňují sledovat změny vlastností (parametrů) procesu v reálném čase, a proto jsou základem samočinně nastavujících regulátorů.

Nechť lineární jednorozměrový stochastický model je popsán modelem ARX. O neměřitelné náhodné složce $e_s(k)$ předpokládáme, že je posloupností vzájemně nekorelovaných náhodných veličin a rovněž nekorelovaných se vstupem a výstupem procesu. Dále předpokládáme, že náhodná veličina má nulovou střední hodnotu a konstantní kovarianci (rozptyl). Výhodou rekurzivní metody nejmenších čtverců je ta skutečnost, že potřebuje nejmenší objem apriorních informací o náhodné složce $e_s(k)$.

Naším úkolem je průběžně odhadovat neznámé parametry $\boldsymbol{\theta}$ modelu na základě vstupů a výstupů k časovému okamžiku k , $\{y(i), u(i), i=k-1, k-2, \dots, k_0\}$ (k_0 je počáteční čas identifikace). Hledáme takový vektor $\hat{\boldsymbol{\theta}}$ rozměru $n_z = 2n$, který minimalizuje kritérium:

$$J_k(\Theta) = \sum_{i=k_0}^k e_s^2(i) \quad 47$$

kde:

$$e_s(i) = y(i) - \Theta^T \phi(i) = \begin{bmatrix} 1 & -\Theta^T \end{bmatrix} \begin{bmatrix} y(i) \\ \phi(i) \end{bmatrix} \quad 48$$

Jestliže požadujeme, aby algoritmus byl schopen sledovat pomalé změny parametrů identifikovaného procesu, můžeme to dosáhnout technikou exponenciálního zpomínání. Potom minimalizujeme modifikované kritérium:

$$J_k(\Theta) = \sum_{i=k_0}^k \varphi^{2(k-i)} e_s^2(i) \quad 49$$

kde $0 < \varphi^2 \leq 1$ je faktor exponenciálního zpomínání.

Vektor odhadu parametrů se aktualizuje podle rekurzivního vztahu:

$$\hat{\Theta}(k) = \hat{\Theta}(k-1) + \frac{C(k-1) \cdot \Phi(k)}{1 + \Phi^T(k) \cdot C(k-1) \cdot \Phi(k)} \cdot \hat{e}(k) \quad 50$$

kde:

$$\hat{e}(k) = y(k) - \hat{\Theta}^T(k) \phi(k-1) \quad 51$$

je chyba predikce. Čtvercová kovarianční matice o rozměru $n \times n$ je aktualizována podle vztahu

$$C(k) = C(k-1) - \frac{C(k-1) \cdot \Phi(k) \cdot \Phi^T(k) \cdot C(k-1)}{1 + \Phi^T(k) \cdot C(k-1) \cdot \Phi(k)} \quad 52$$

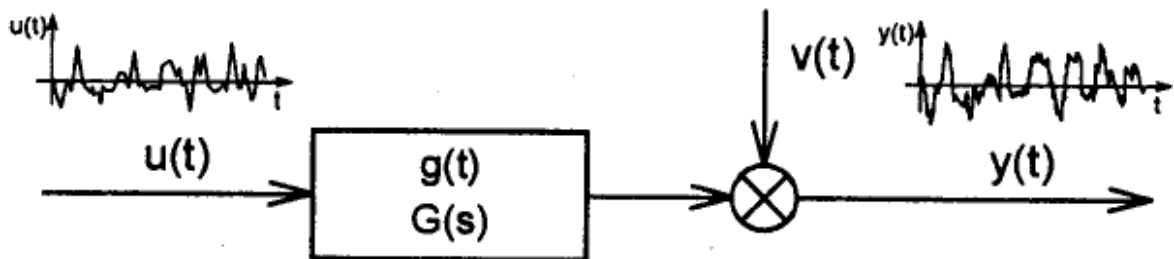
1.5 Korelační analýza

1.5.1 Stochastická formulace dynamického systému

Na vstup systému přivedeme signál $u(t)$. Na výstupu potom máme signál $y(t)$. Na výstupu je kromě signálu $y(t)$ ještě signál $v(t)$, což je poruchový náhodný signál, který nekoreluje s vstupním signálem $u(t)$ [3].

Výstup systému je popsán pomocí konvolutorního integrálu:

$$y(t) = \int_0^{\infty} g(\tau) \cdot u(t - \tau) d\tau + v(t) \quad 53$$



Obrázek 4: Průchod náhodného signálu lineárním dynamickým systémem

Pro deterministické signály je tento vztah vhodný pro řešení pomocí řadnic impulsní funkce. Podiskretizaci:

$$y(kT) = \sum_{u=0}^{\infty} g(uT) \cdot u(kT - uT) \quad 54$$

Je-li vstupní veličina náhodná, ergodická a stacionární, bude i výstupní veličina náhodná, ergodická a stacionární. Budeme též jiné statistické charakteristiky. Rovnici rozšíříme zleva o $u(t + T^*)$ a vypočítáme střední hodnotu výrazů na obou stranách rovnice:

$$\lim_{T \rightarrow \infty} \frac{1}{T} \int_0^T u(t + \tau^*) \cdot y(t) dt = \lim_{T \rightarrow \infty} \frac{1}{T} \int_0^T \int_0^{\infty} g(\tau) \cdot u(t + \tau^*) \cdot u(t - \tau) d\tau dt + \lim_{T \rightarrow \infty} \frac{1}{T} \int_0^T u(t + \tau^*) \cdot v(t) dt \quad 55$$

Jednotlivé členy rovnice obsahují výpočet korelačních funkcí. Za předpokladu nezávislosti šumu $v(t)$ na vstupním signálem $u(t)$ je korelační funkce $R_{uv}(\tau)$ rovnanule.

$$R_{uv}(\tau^*) = \lim_{T \rightarrow \infty} \frac{1}{T} \int_0^T u(t + \tau^*) \cdot v(t) dt = 0 \quad 56$$

Levá strana určuje vzájemnou korelační funkci $R_{uy}(\tau^*)$:

$$R_{uy}(\tau^*) = \lim_{T \rightarrow \infty} \frac{1}{T} \int_0^T u(t + \tau^*) \cdot y(t) dt \quad 57$$

Napravením úžezaměnit pořadí integrací dospějeme k:

$$R_{uy}(\tau^*) = \int_0^{\infty} g(\tau) R_{uu}(\tau^* - \tau) d\tau \quad 58$$

Po zavedení reálného času získáme tzv. Wiener – Hopfovou rovnici, která představuje vztah mezi dynamickým systémem a jeho impulsní funkcí.

$$R_{uy}(\tau) = \int_0^{\infty} g(t) R_{uu}(\tau - t) dt \quad 59$$

Tato rovnice umožňuje ze známých hodnot korelačních funkcí R_{uu} a R_{uy} určit neznámou impulsní funkci g charakteristikou dynamického systému. Je nutné provést dekonvoluci integrální rovnice numerickými výpočty vycházejícími z diskretizace vztahů nahrazených integrací sumací. Diskretizací dostaneme:

$$R_{uy}(\tau) \approx \sum_{i=0}^N R_{uu}(\tau - i \cdot \Delta t) \cdot g(i \cdot \Delta t) \Delta t \quad 60$$

Časové posunutí τ vyjádříme jako násobek periody vzorkování Δt :

Z soustavy (60) dostaneme $N+1$ lineárních algebraických rovnic, z kterých můžeme vypočítat neznámé hodnoty g impulsní funkce.

$$r = R \cdot g$$

$$R = \begin{bmatrix} R_{uu}(0) & R_{uu}(\Delta t) & R_{uu}(2\Delta t) & \dots & \dots & R_{uu}(N\Delta t) \\ R_{uu}(\Delta t) & R_{uu}(0) & R_{uu}(\Delta t) & \dots & \dots & R_{uu}((N-1)\Delta t) \\ R_{uu}(2\Delta t) & R_{uu}(\Delta t) & R_{uu}(0) & \dots & \dots & R_{uu}((N-2)\Delta t) \\ \cdot & \cdot & \cdot & \dots & \dots & \cdot \\ \cdot & \cdot & \cdot & \dots & \dots & \cdot \\ R_{uu}(N\Delta t) & R_{uu}((N-1)\Delta t) & \dots & \dots & \dots & R_{uu}(0) \end{bmatrix} \quad 62$$

$$r = \begin{bmatrix} \frac{R_{uy}(0)}{\Delta t} \\ R_{uy}(\Delta t) \\ \Delta t \\ \cdot \\ \cdot \\ \frac{R_{uy}(N\Delta t)}{\Delta t} \end{bmatrix} \quad 63$$

Z těchto dvou matic získáme tedy hodnoty γ řadnic impulsní funkce:

$$g = R^{-1} \cdot r \quad 64$$

Při numerickém výpočtu mohou nastat problémy s výpočtem inverzní matice R^{-1} .
V takovém případě bychom měli vypustit nějaké hodnoty nebo použít jiný postup.

2 CHARAKTERISTIKY LINEÁRNÍCH DYNAMICKÝCH SYSTÉMŮ

Modely reálné tepelné soustavy získané využitím vhodných procesů byly porovnány s modely získanými na základě řešení přechodové charakteristiky a její aproximace Strejcovou metodou.

2.1 Impulsní charakteristika

Jedná se o impulsní funkci $g(t)$, jejíž grafickým zobrazením je impulsní charakteristika. Tato funkce představuje odezvu na tzv. Diracův impuls $\delta(t)$. Tento impuls má povahu vstupního signálu tvaru jednotkového impulsu. Pro Diracův impuls [4] platí:

$$\delta(t) = \begin{cases} \infty & t = 0 \\ 0 & t \neq 0 \end{cases} \quad 65$$

$$\int_{-\infty}^{\infty} \delta(t) dt = 1 [s] \quad 66$$

Impulsní funkce je dána vztahem:

$$\delta(t) = L^{-1} \{ G(s) \} \quad 67$$

2.2 Přechodová charakteristika

Je grafickým zobrazením přechodové funkce $h(t)$. Tato funkce je definována jako odezva lineárního dynamického systému na skokovou změnu vstupního signálu neboli Heavisideova skoku [4]. Tento Heavisideův skok vznikne integrací Diracova impulsu a platí pro něj:

$$\eta(t) = \begin{cases} 0 & t < 0 \\ 1 & t \geq 0 \end{cases} \quad 68$$

Přechodová funkce je dána vztahem:

$$\eta(t) = L^{-1} \{ H(s) \} = L^{-1} \left\{ \frac{1}{s} G(s) \right\} \quad 69$$

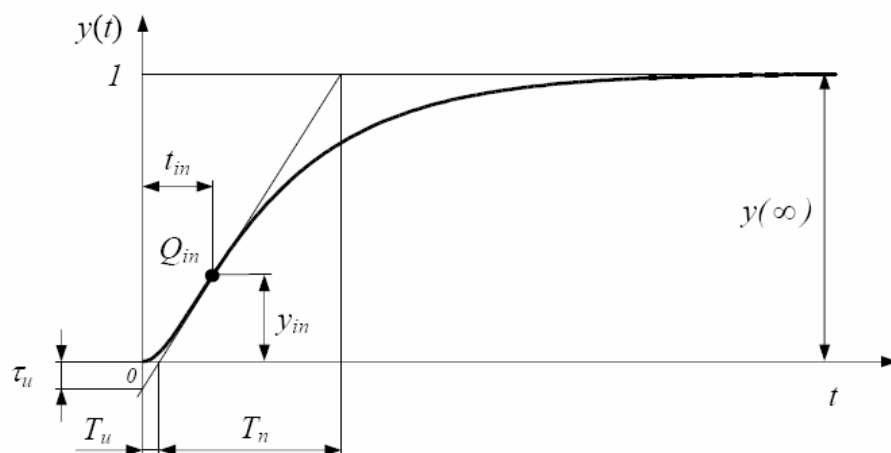
2.3 Aproximace přechodových charakteristik

Aproximace přechodových charakteristik patří mezi deterministické metody. Odvození těchto metod vychází z analytických zobrazení údevyproporcionálních členů. Tyto metody je vhodné použít je-li šumavý výstup soustavy zanedbatelný.

Před každým řešením musí být soustava v rovnovážném stavu. Kvůli chybám, které se mohou na soustavě vyskytnout je vhodné provést měření vícekrát a pro aproximaci použít střední průběh přechodové charakteristiky. Nebo můžeme provést vyhodnocení většího počtu měření a vypočítat střední hodnoty hledaných parametrů.

2.4 Aproximace strejcovou metodou

Strejcová metoda [1] aproximace přechodových charakteristik je jednou z nejjednodušších. Je určena pro aproximaci statických soustav a navrhl V. Strejc. Základním předpokladem u aproximace touto soustavou je, že charakteristická rovnicemá reálné a záporné kořeny. Pomocí této metody lze aproximovat naměřená data soustavami n -tého řádu se stejnými časovými konstantami nebo soustavami druhého řádu s různými časovými konstantami. Nejdrůležitější je, která časová osa vytíná různé úseky a je sestrojena v inflexním bodě aproximované charakteristiky. Podle toho se rozhodneme jakým způsobem budeme měření přechodové charakteristiky aproximovat.



Obrázek 5: Normovaná přechodová charakteristika statické soustavy vyššího řádu

Postup pro určení aproximační funkce následující:

- určíme inflexní bod, ve kterém sestrojíme tečnu k aproximované přechodové charakteristice.

- úseky, které nám protnete číselná časová osa jsou T_u (dobu průtahy) a T_n (dobu nabíjení). Z těchto dvou hodnot potěurčíme poměr $\tau_u = T_u / T_n$.

- je-li $\tau_u \geq 0,04$, volíme pro aproximaci soustavu n-tého řádu se stejnými časovými konstantami. Zpodílu T_u / T_n určíme pomocí tabulky nejbližší řád n aproximačního přenosu. Z tabulky také určíme hodnoty T_u / T , T_n / T pro určený řád aproximačního přenosu. Přenos aproximační soustavy budeme mít tvar:

$$G(s) = \frac{K}{(T_s + 1)^n} \quad 70$$

- je-li $\tau_u \leq 0,04$, volíme pro aproximaci soustavu druhého řádu s různě velkými časovými úseky t_1 a vypočítáme součet časových konstant. Pro pořadnici $y(t_1) = 0,720$ odečteme z přechodové charakteristiky časový úsek t_1 a vypočítáme součet konstant.

$$T_1 + T_2 = \frac{t_1}{1,2564} \quad 71$$

Vypočítáme časový úsek:

$$t_2 = 0,3574(T_1 + T_2) \quad 72$$

Az naměřených přechodových charakteristiky odečteme příslušnou pořadnici $y(t_2)$. Z grafu

závislosti $y(t_2) = f(\tau)$ na obrázku určíme poměr časových konstant $\tau = \frac{T_2}{T_1}$.

Z rovnice $T_1 + T_2 = \frac{t_1}{1,2564}$ a $\tau = \frac{T_2}{T_1}$ se určí hledané časové konstanty. Přenos

aproximační soustavy má tvar:

$$G(s) = \frac{K}{(T_1 s + 1)(T_2 s + 1)} \quad 73$$

II. PRAKTICKÁ ČÁST

3 ZADÁNÍ PROTOKOLU

3.1 Zadání protokolu 1

- a) Proměřte reálnou tepelnou soustavu pomocí náhodného signálu vygenerovaného využitím Matlabu a také pomocí pseudonáhodného binárního signálu. Počet vzorků N určen náhodným signálem pseudonáhodným binárním signálem volte minimálně roven 100.
- b) V programu Simulink (součást programu Matlab) sestrojte schéma pro proměření zadaného operátorového přenosu náhodným signálem pseudonáhodným binárním signálem. Hodnoty náhodného signálu vygenerujte pomocí funkce **rand** uložit do paměti N dvojic vzorků. Počet vzorků N volte minimálně roven 250. Periodu vzorkování T volte s ohledem na rychlost dynamiky spojitěho modelu. Můžete použít pravidlo, že vhodná perioda se volí tak, aby na aktivní části přechodové charakteristiky připadalo asi 10 vzorků.
- c) V programu Matlab vypočítejte pomocí funkce **c2dmz**-přenos zadaného přenosu soustavy. Z-přenos upravte do tvaru, ze kterého získáte diferenciální rovnici.
- d) Získané dvojice hodnot vstupní veličiny u a výstupní veličiny y použijte pro výpočet odhadů středních hodnot a jejich rozptylů. Použijte níže uvedené vzorce:

$$\text{střední hodnota:} \quad \hat{\mu}_u = \frac{1}{N} \sum_{k=1}^N u(k) \quad \hat{\mu}_y = \frac{1}{N} \sum_{k=1}^N y(k)$$

$$\text{rozptyl:} \quad \hat{\sigma}_u^2 = \frac{1}{N} \sum_{k=1}^N [u(k) - \hat{\mu}_u]^2 \quad \hat{\sigma}_y^2 = \frac{1}{N} \sum_{k=1}^N [y(k) - \hat{\mu}_y]^2$$

- e) Vypočítejte koeficient korelace a kovarianční matici.

$$\text{koeficient korelace:} \quad \hat{r}(U, Y) = \frac{\hat{C}(U, Y)}{\hat{\sigma}_u \hat{\sigma}_y}, \quad \hat{C}(U, Y) = \frac{1}{N} \sum_{k=1}^N (u(k) - \hat{\mu}_u)(y(k) - \hat{\mu}_y)$$

kde $\hat{C}(U, Y)$ je kovariance náhodných veličin U, Y a $\hat{\sigma}_u, \hat{\sigma}_y$ jsou směrodatné odchylky (odmocnina rozptylu).

$$\text{kovarianční matice : } C(X) = \begin{bmatrix} \hat{\sigma}_u^2 & C(U, Y) \\ C(U, Y) & \hat{\sigma}_y^2 \end{bmatrix}, \quad X^T = [U, Y]$$

kde $\hat{C}(U, Y)$ a $\hat{C}(Y, U)$ je kovariance náhodných veličin U, Y

f) Proveďte výpočet grafické znázornění autokorelačních, vzájemných korelačních, autokovariančních a vzájemných kovariančních funkcí.

$$\text{autokorelační funkce : } \hat{R}_{uu}(i) = \frac{1}{N-i} \sum_{k=1}^{N-i} u(k) \cdot u(k+i) \quad i = 0, 1, \dots, m$$

$$\hat{R}_{yy}(i) = \frac{1}{N-i} \sum_{k=1}^{N-i} y(k) \cdot y(k+i) \quad i = 0, 1, \dots, m$$

$$\text{vzájemná korelační funkce : } \hat{R}_{uy}(i) = \frac{1}{N-i} \sum_{k=1}^{N-i} u(k) y(k+i) \quad i = 0, 1, \dots, m$$

$$\text{autokovarianční funkce : } \hat{C}_{uu}(i) = \frac{1}{N-i} \sum_{k=1}^{N-i} (u(k) - \hat{\mu}_u)(u(k+i) - \hat{\mu}_u) \quad i = 0, 1, \dots, m$$

$$\hat{C}_{yy}(i) = \frac{1}{N-i} \sum_{k=1}^{N-i} (y(k) - \hat{\mu}_y)(y(k+i) - \hat{\mu}_y) \quad i = 0, 1, \dots, m$$

$$\text{vzájemná kovarianční funkce : } \hat{C}_{uy}(i) = \frac{1}{N-i} \sum_{k=1}^{N-i} (u(k) - \hat{\mu}_u)(y(k+i) - \hat{\mu}_y) \quad i = 0, 1, \dots, m$$

3.2 Zadání protokolu 2

- a) Nareálné tepelné soustavě naměřte přechodovou charakteristiku.
 b) Proveďte aproximaci naměřené přechodové charakteristiky Strejcovou metodou.

- c) Určete frekvenční spektrum $S_S(\omega)$ soustavy pomocí vztahu:

$$S_S(\omega) = |G_S(j\omega)|^2 = G_S(j\omega)G_S(-j\omega)$$

Dále určete $S_S(f)$ dosazením za $\omega = 2\pi f$ a hodnoty zobrazte v tabulce.

- d) Graficky znázorněte průběh výkonové spektrální hustoty.

- e) Zvolte parametry generátoru PNBS a hodnotu zvolených parametrů τ pomocí časové konstanty T_{\max} , která aproximuje dynamické chování vyšetřované soustavy.

$$\Delta t < 0.314 T_{\max}; \quad N \Delta t > 12.56 T_{\max}$$

- f) Určete průběh výkonové spektrální hustoty pro generátor PNBS. Použijte k tomu

$$\text{vztah: } S_G(f) = \frac{a^2}{2\pi^2 f^2 \Delta t} (1 - \cos 2\pi f \Delta t). \text{ Hodnoty zobrazte v tabulce a poté}$$

znázorněte graficky. Pro $f=0$ je potřeba vypočítat limitu funkce $S_G(f)$

- g) Porovnejte graficky průběh výkonových spektrálních hustot.

- h) Z přenosu $G_S(s)$ určete diskrétní přenos $G_S(z)$ a diferencni rovnic vyšetřované soustavy.

- i) Bodově realizujte jak pomocí měření tak pomocí simulované hodnoty vygenerované využitím PNBS

3.3 Zadání protokolu 3

- Podle hodnot autokorelačních funkcí a vzájemných korelačních funkcí, které jste získali v protokolu 1, získejte pomocí korelační analýzy hodnoty impulsní funkce.
- Graficky znázorněte impulsní funkci získanou pomocí korelační analýzy a impulsní funkci získanou říkazem impulse.
- Při realizaci bodů a, b použijte jak hodnoty získané měřením, tak hodnoty získané simulací.

3.4 Zadání protokolu 4

- Hodnoty měření náhodného signálu a signálu PNBS použijte pro odhad parametrů modelu zadané soustavy. Pro odhad parametrů použijte metodu nejmenších čtverců. Nejdříve použijte explicitní metodu nejmenších čtverců.
- Tytéž hodnoty vstupních a výstupních veličin použijte pro rekurzivní (průběžnou) metodu nejmenších čtverců.
- Graficky znázorněte průběhy odhadů parametrů $\hat{a}_1(k)$, $\hat{a}_2(k)$, $\hat{b}_1(k)$, $\hat{b}_2(k)$ a chyby predikce $\hat{e}(k)$.
- V tabulkách pro jednotlivé metody porovnejte odhady parametrů modelu získaného pomocí obou metod.
- Na základě získaných diskrétních modelů vykreslete přechodové charakteristiky a porovnejte je s naměřenou přechodovou charakteristikou pomocí sumy čtverců odchylek.
- Celé zadání protokolu realizujte jak pro naměřené hodnoty, tak pro nasimulované hodnoty.

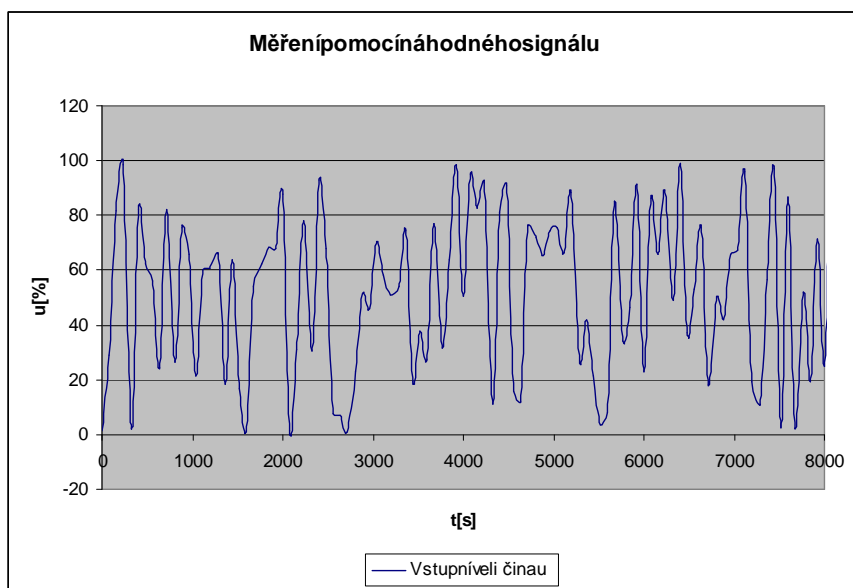
4 VZOROVÉ VYPRACOVÁNÍ PROTOKOLU 1

Název protokolu:

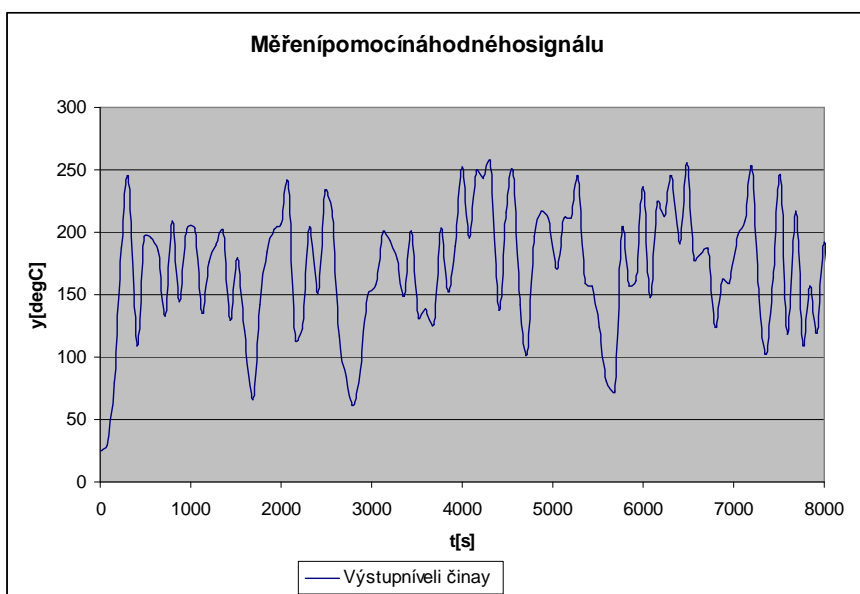
Výpočet základních statistických charakteristik náhodných veličin

Měření proběhlo na reálné tepelné soustavě tvořené tepelným proměnným odporem. Hodnoty vstupní veličiny jsou v % řídkonu. Hodnoty výstupní veličiny jsou v římocí ve °C. Maximální možný příkon byl naměřen 2,25 W.

4.1 Měření pomocí náhodného signálu

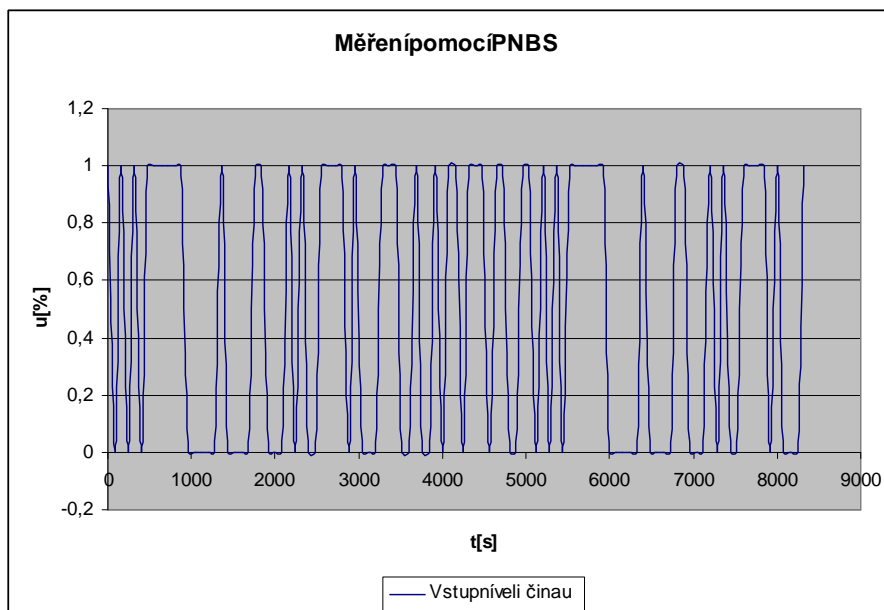


Obrázek 6: Průběh vstupní veličiny v závislosti na čase

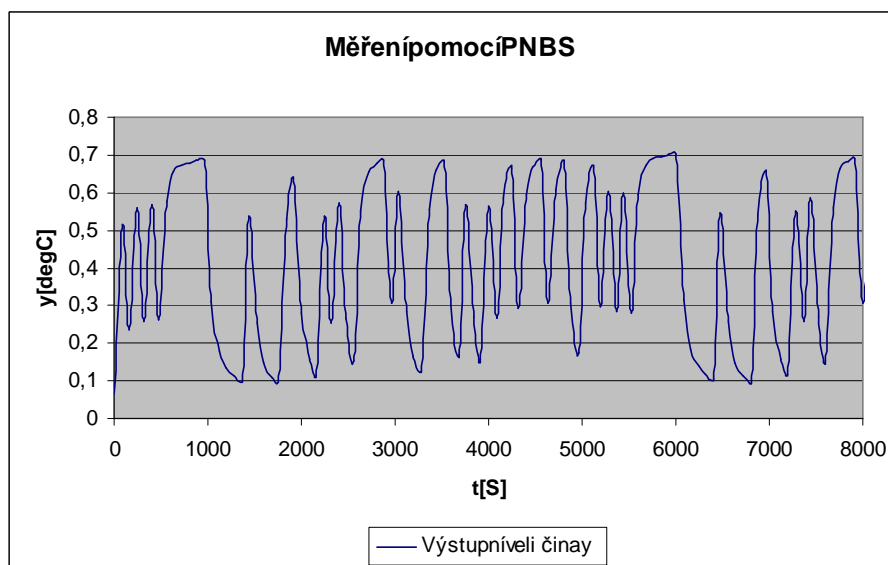


Obrázek 7: Průběh výstupní veličiny v závislosti na čase

4.2 měření pomocí signálu PNBS



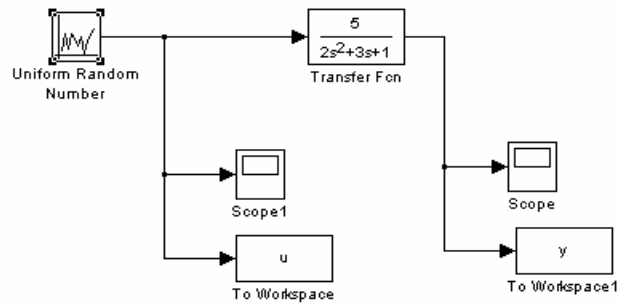
Obrázek 8: Průběh vstupní veličiny v závislosti na čase



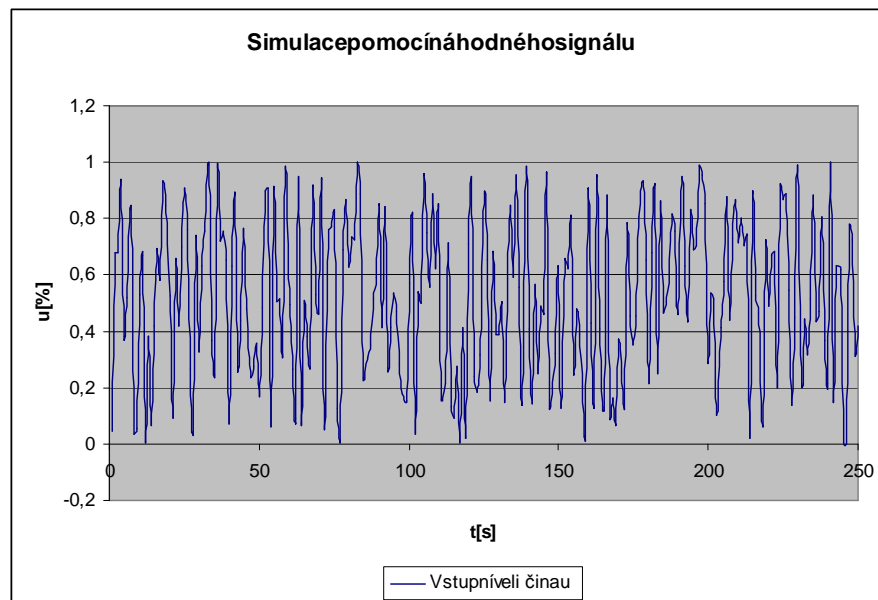
Obrázek 9: Průběh výstupní veličiny v závislosti na čase

Pro zadaný model bylo navrženo schéma v programu s imulink pro simulaci náhodným signálem a signálem PNBS.

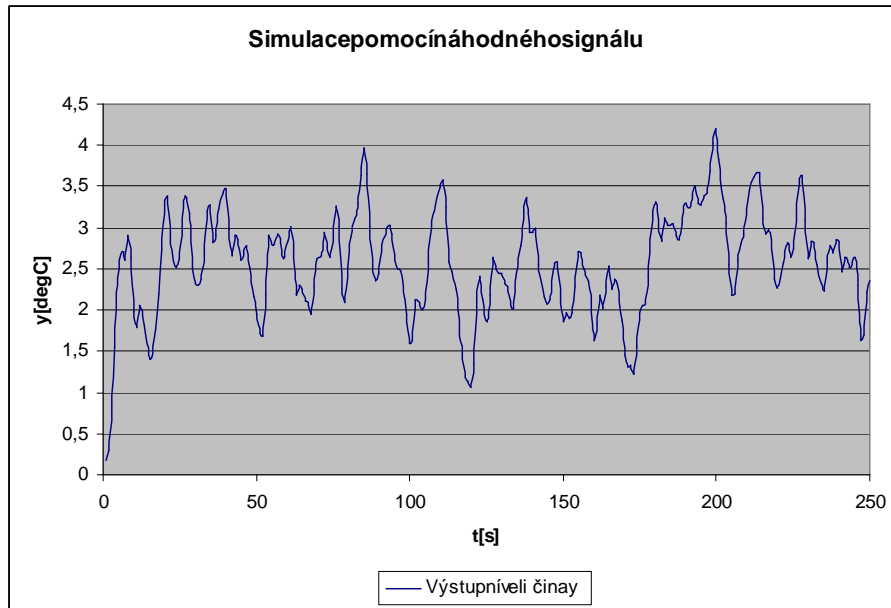
4.3 Simulace pomocí náhodného signálu



Obrázek 10: Schéma pro simulaci náhodného signálu v Simulinku

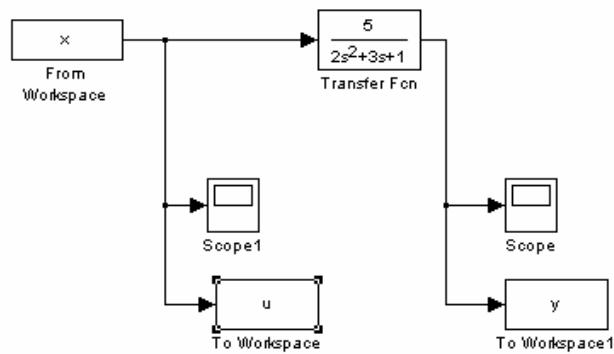


Obrázek 11: Průběh vstupní veličiny v závislosti na čase



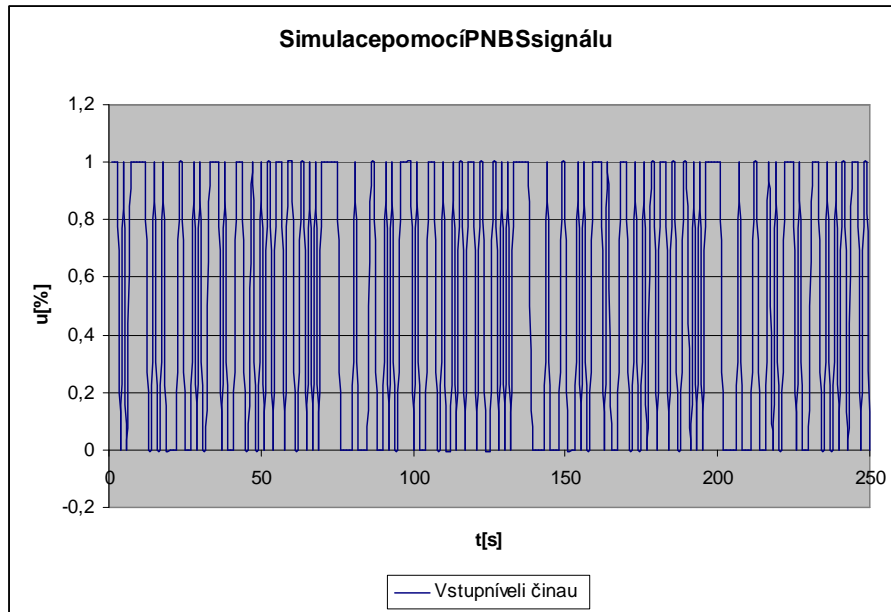
Obrázek 12: Průběh výstupní veličiny v závislosti na čase

4.4 Simulace pomocí PNB

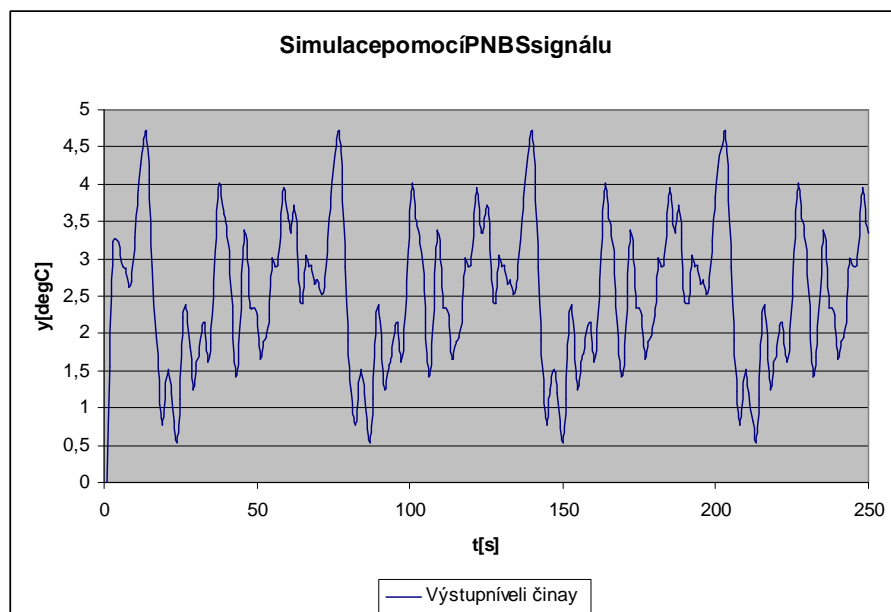


Obrázek 13: Schéma pro simulaci signálu PNB

SvSimulinku



Obrázek 14: Průběh vstupní veličiny u [%] závislost na čase t [s]



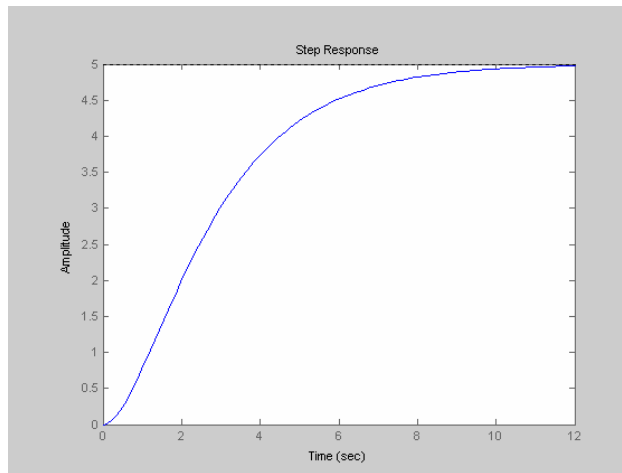
Obrázek 15: Průběh výstupní veličiny y [degC] závislost na čase t [s]

4.5 Simulace přechodové funkce

Pro simulaci přechodové funkce byl použit příkaz v programu Matlab:

```
p=tf([5],[2,3,1])
```

```
step(p)
```



Obrázek 16: Přechodová charakteristika získaná simulací

4.6 Výpočet středních hodnot a rozptylů u řešení

Střední hodnoty a rozptyly byly počítány pomocí vzorců (1) a (2).

4.6.1 Náhodné signály

$$\hat{\mu}_u = \frac{1}{N} \sum_{k=1}^N u(k) = 51,2659 \quad 74$$

$$\hat{\mu}_y = \frac{1}{N} \sum_{k=1}^N y(k) = 170,5561 \quad 75$$

$$\hat{\sigma}_u^2 = \frac{1}{N} \sum_{k=1}^N [u(k) - \hat{\mu}_u]^2 = 877,0368 \quad 76$$

$$\hat{\sigma}_y^2 = \frac{1}{N} \sum_{k=1}^N [y(k) - \hat{\mu}_y]^2 = 2689,659 \quad 77$$

4.6.2 PNBS signály

$$\hat{\mu}_u = \frac{1}{N} \sum_{k=1}^N u(k) = 0,495238 \quad 78$$

$$\hat{\mu}_y = \frac{1}{N} \sum_{k=1}^N y(k) = 0,40745 \quad 79$$

$$\hat{\sigma}_u^2 = \frac{1}{N} \sum_{k=1}^N [u(k) - \hat{\mu}_u]^2 = 0,249977 \quad 80$$

$$\hat{\sigma}_y^2 = \frac{1}{N} \sum_{k=1}^N [y(k) - \hat{\mu}_y]^2 = 0,047913 \quad 81$$

4.7 Výpočet středních hodnot a rozptylů simulace

4.7.1 Náhodné signály

$$\hat{\mu}_u = \frac{1}{N} \sum_{k=1}^N u(k) = 0,521569 \quad 82$$

$$\hat{\mu}_y = \frac{1}{N} \sum_{k=1}^N y(k) = 2,519007 \quad 83$$

$$\hat{\sigma}_u^2 = \frac{1}{N} \sum_{k=1}^N [u(k) - \hat{\mu}_u]^2 = 0,084268 \quad 84$$

$$\hat{\sigma}_y^2 = \frac{1}{N} \sum_{k=1}^N [y(k) - \hat{\mu}_y]^2 = 0,393042 \quad 85$$

4.7.2 PNBS signály

$$\hat{\mu}_u = \frac{1}{N} \sum_{k=1}^N u(k) = 0,514286 \quad 86$$

$$\hat{\mu}_y = \frac{1}{N} \sum_{k=1}^N y(k) = 2,487663 \quad 87$$

$$\hat{\sigma}_u^2 = \frac{1}{N} \sum_{k=1}^N [u(k) - \hat{\mu}_u]^2 = 0,249796 \quad 88$$

$$\hat{\sigma}_y^2 = \frac{1}{N} \sum_{k=1}^N [y(k) - \hat{\mu}_y]^2 = 1,074956 \quad 89$$

4.8 Kovarianční matice řešení

4.8.1 Náhodné signály

Výpočet kovarianční matice náhodných veličin $\hat{C}(U, Y)$:

$$\hat{C}(U, Y) = \frac{1}{N} \sum_{k=1}^N (u(k) - \hat{\mu}_u)(y(k) - \hat{\mu}_y) = -38,3523 \quad 90$$

Koeficient korelace $\hat{r}(U, Y)$:

$$\hat{r}(U, Y) = \frac{\hat{C}(U, Y)}{\hat{\sigma}_u \hat{\sigma}_y} = -0,02497 \quad 91$$

Ze získaných rozptylů, kovariance a korelačního koeficientu jsem sestavil kovarianční matici:

Kovarianční matice $C(X)$:

$$C(X) = \begin{bmatrix} \hat{\sigma}_u^2 & C(U, Y) \\ C(U, Y) & \hat{\sigma}_y^2 \end{bmatrix} = \begin{bmatrix} 877,0368 & -38,3523 \\ -38,3523 & 2689,659 \end{bmatrix} \quad 92$$

4.8.2 PNBS signály

Výpočet kovarianční matice náhodných veličin $\hat{C}(U, Y)$:

$$\hat{C}(U, Y) = \frac{1}{N} \sum_{k=1}^N (u(k) - \hat{\mu}_u)(y(k) - \hat{\mu}_y) = -0,0009 \quad 93$$

Koeficient korelace $\hat{r}(U, Y)$:

$$\hat{r}(U, Y) = \frac{\hat{C}(U, Y)}{\hat{\sigma}_u \hat{\sigma}_y} = -0,00819 \quad 94$$

Ze získaných rozptylů, kovariance a korelačního koeficientu jsem sestavil kovarianční matici:

Kovarianční matice $C(X)$:

$$C(X) = \begin{bmatrix} \hat{\sigma}_u^2 & C(U, Y) \\ C(U, Y) & \hat{\sigma}_y^2 \end{bmatrix} = \begin{bmatrix} 0,249977 & -0,0009 \\ -0,0009 & 0,047913 \end{bmatrix} \quad 95$$

4.9 Kovarianční matice simulace

4.9.1 Náhodné signály

Náhodná čísla:

Výpočet kovariancenáhodných veličin $\hat{C}(U, Y)$:

$$\hat{C}(U, Y) = \frac{1}{N} \sum_{k=1}^N (u(k) - \hat{\mu}_u)(y(k) - \hat{\mu}_y) = -0,01704 \quad 96$$

Koeficient korelace $\hat{r}(U, Y)$:

$$\hat{r}(U, Y) = \frac{\hat{C}(U, Y)}{\hat{\sigma}_u \hat{\sigma}_y} = -0,09365 \quad 97$$

Ze získaných rozptylů, kovariance a korelačního koeficientu jsem sestavil kovarianční matici:

Kovarianční matice $C(X)$:

$$C(X) = \begin{bmatrix} \hat{\sigma}_u^2 & C(U, Y) \\ C(U, Y) & \hat{\sigma}_y^2 \end{bmatrix} = \begin{bmatrix} 0,084268 & -0,01704 \\ -0,01704 & 0,393042 \end{bmatrix} \quad 98$$

4.9.2 PNBS signály

Výpočet kovariancenáhodných veličin $\hat{C}(U, Y)$:

$$\hat{C}(U, Y) = \frac{1}{N} \sum_{k=1}^N (u(k) - \hat{\mu}_u)(y(k) - \hat{\mu}_y) = -0,0216 \quad 99$$

Koeficient korelace $\hat{r}(U, Y)$:

$$\hat{r}(U, Y) = \frac{\hat{C}(U, Y)}{\hat{\sigma}_u \hat{\sigma}_y} = -0,04168 \quad 100$$

Ze získaných rozptylů, kovariance a korelačního koeficientu jsem sestavil kovarianční matici:

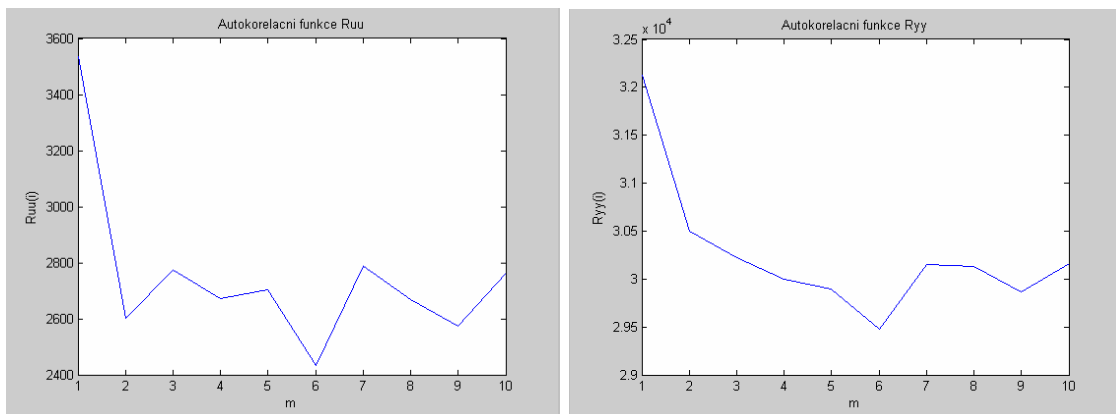
Kovarianční matice $C(X)$:

$$C(X) = \begin{bmatrix} \hat{\sigma}_u^2 & C(U, Y) \\ C(U, Y) & \hat{\sigma}_y^2 \end{bmatrix} = \begin{bmatrix} 0,249796 & -0,0216 \\ -0,0216 & 1,074956 \end{bmatrix} \quad 101$$

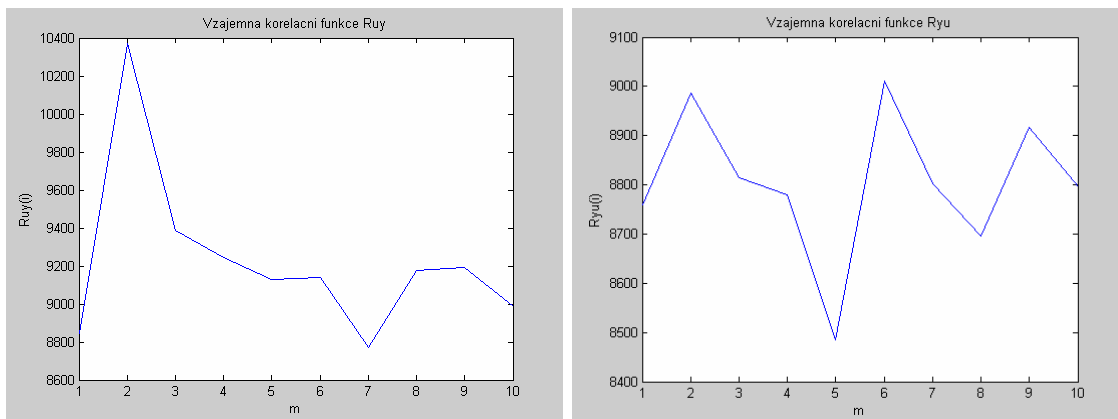
4.10 Autokorelační funkce a vzájemná korelační funkce řešení

Pro výpočet autokorelačních funkcí a vzájemných korelačních funkcí byly použity vzorce (6)-(8).

4.10.1 Náhodné signály

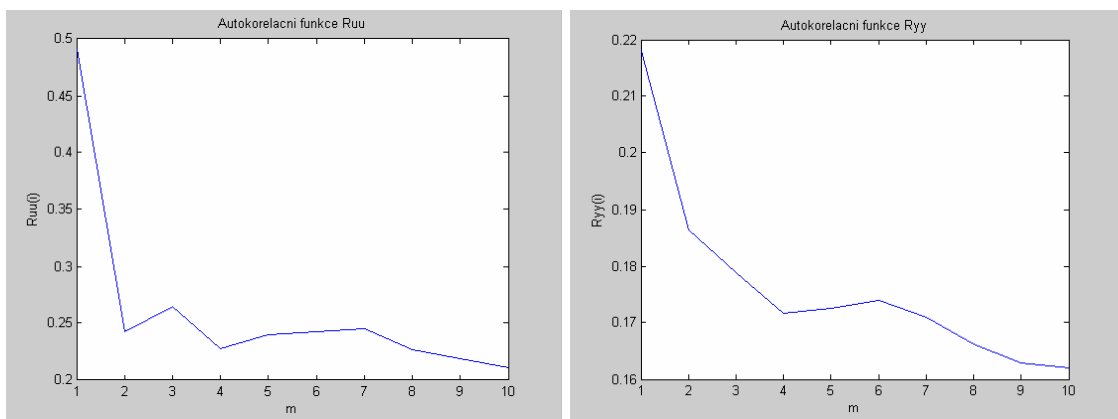


Obrázek 17: Vlevo autokorelační funkce R_{uu} , vpravo autokorelační funkce R_{yy}

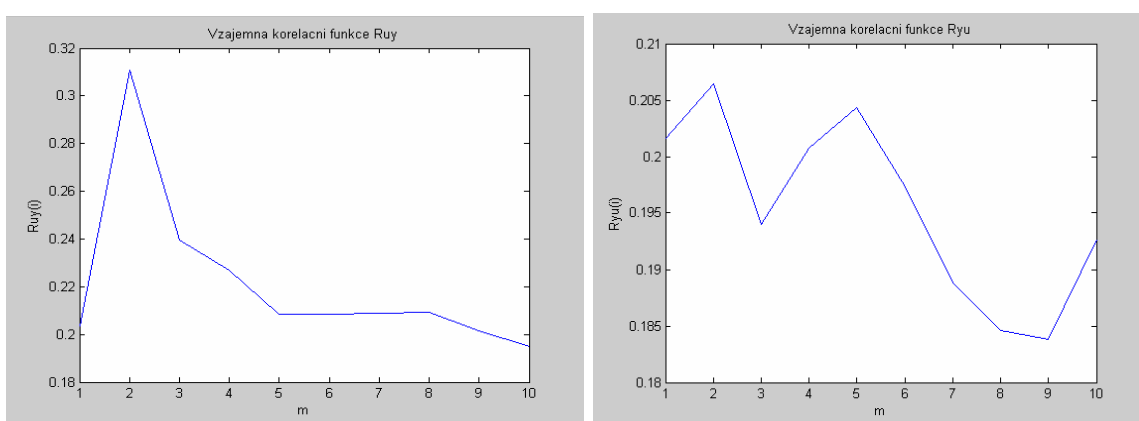


Obrázek 18: Vlevo vzájemná autokorelační funkce R_{uy} , vpravo vzájemná autokorelační funkce R_{yu}

4.10.2 PNBS signály



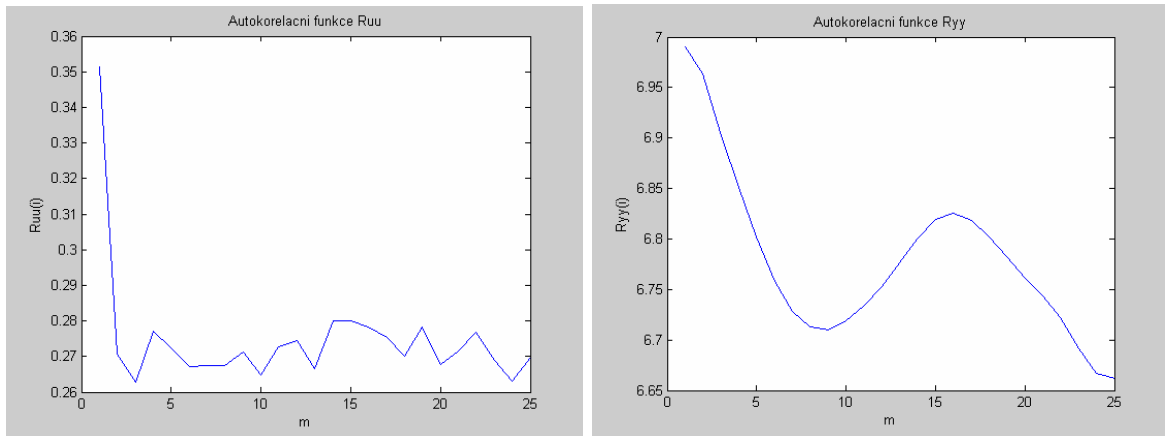
Obrázek 19: Vlevo autokorelační funkce R_{uu} , vpravo autokorelační funkce R_{yy}



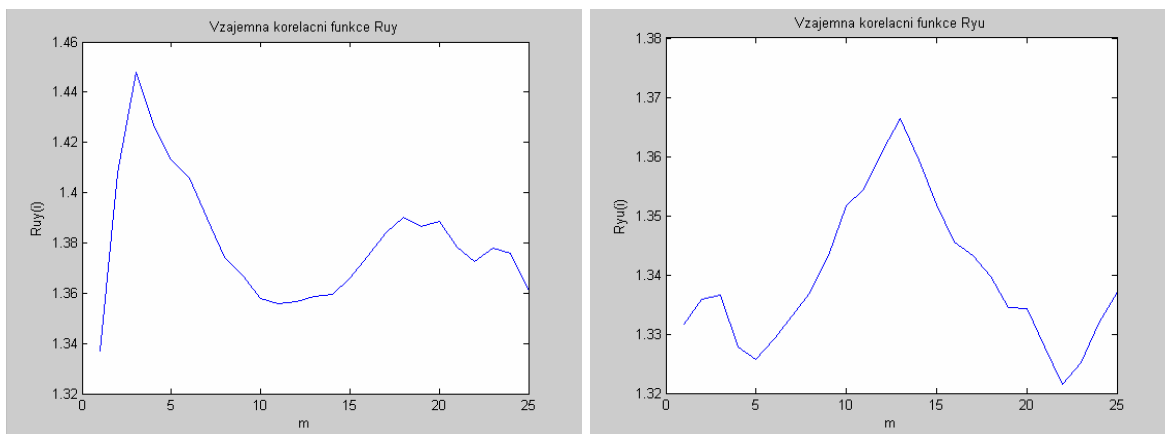
Obrázek 20: Vlevo vzájemná autokorelační funkce R_{uy} , vpravo vzájemná autokorelační funkce R_{yu}

4.11 Autokorelační funkce a vzájemná korelační funkce simulace

4.11.1 Náhodné signály

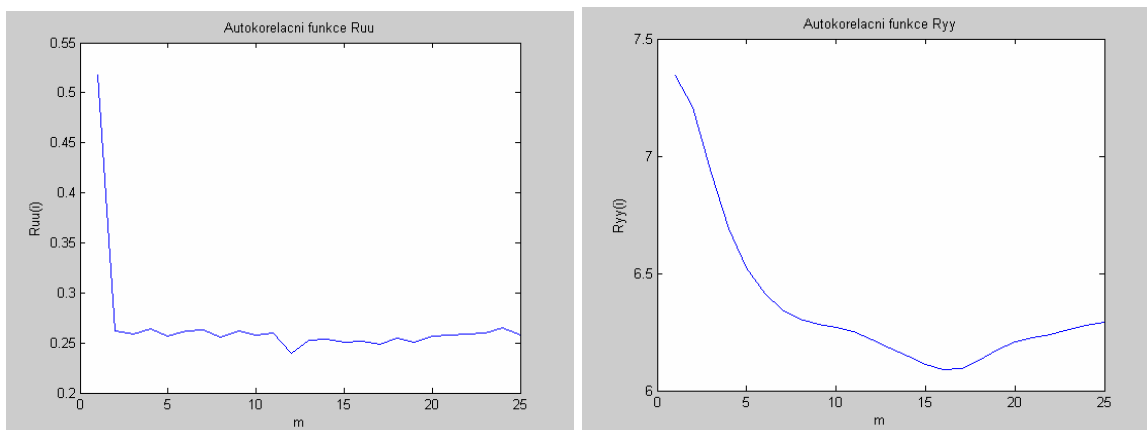


Obrázek 21: Vlevo autokorelační funkce R_{uu} , vpravo autokorelační funkce R_{yy}

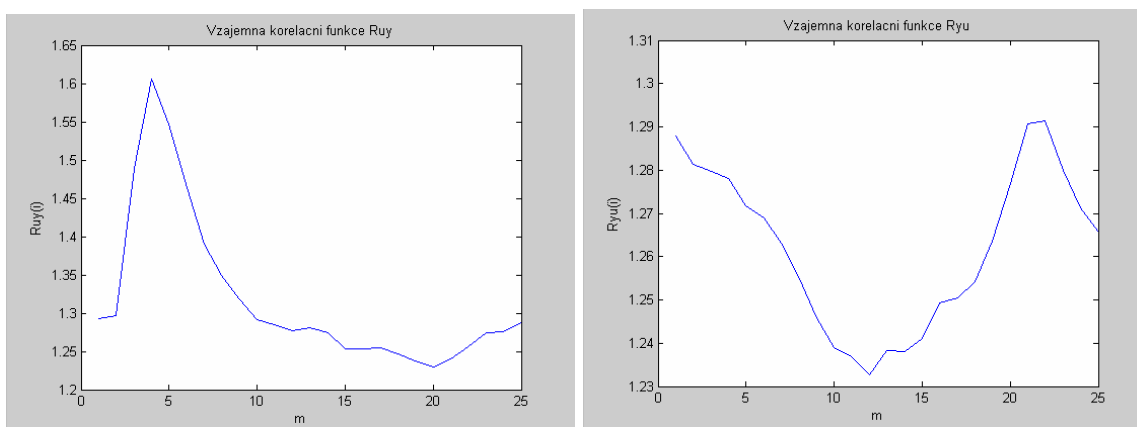


Obrázek 22: Vlevo vzájemná autokorelační funkce R_{uy} , vpravo vzájemná autokorelační funkce R_{yu}

4.11.2 PNBS signály



Obrázek 23: Vlevo autokorelační funkce R_{uu} , vpravo autokorelační funkce R_{yy}

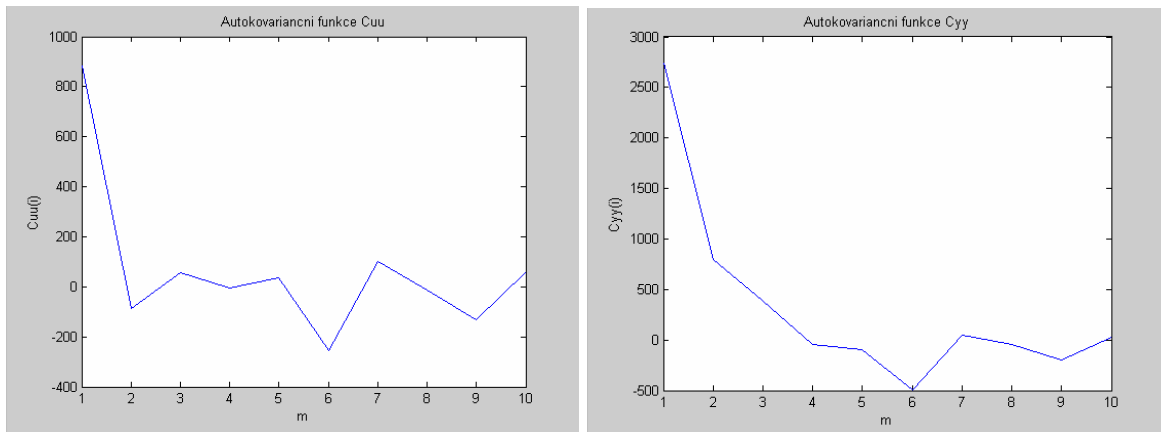


Obrázek 24: Vlevo vzájemná autokorelační funkce R_{uy} , vpravo vzájemná autokorelační funkce R_{yu}

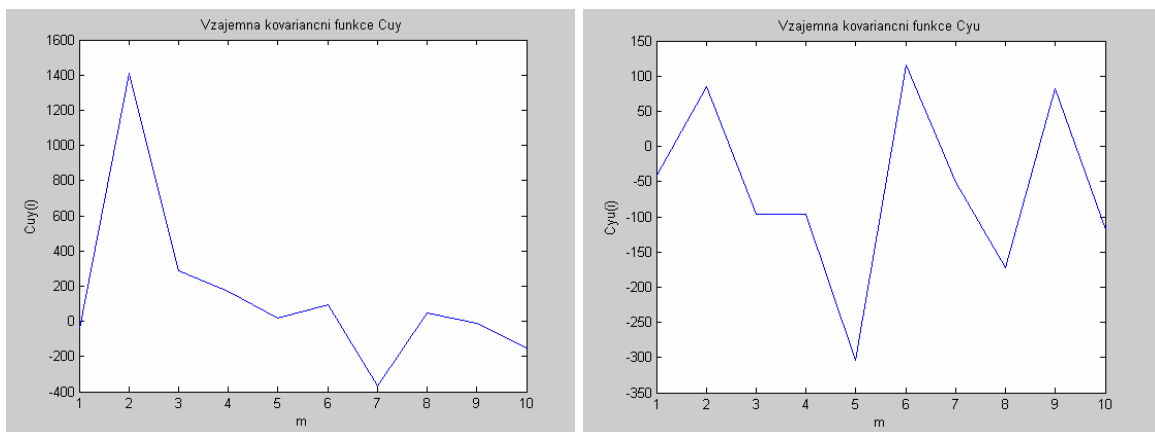
4.12 Autokovarianční funkce a vzájemné kovarianční funkcí řešení

Pro výpočet autokovariančních funkcí a vzájemných kovariančních funkcí byly použity vzorce (9)-(11).

4.12.1 Náhodné signály

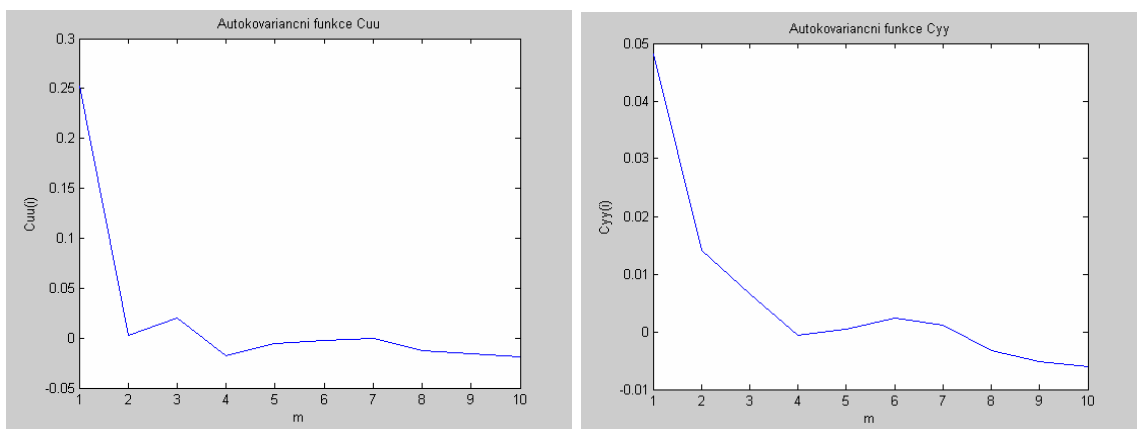


Obrázek 25: Vlevo autokovarianční funkce C_{uu}, vpravo autokovarianční funkce C_{yy}

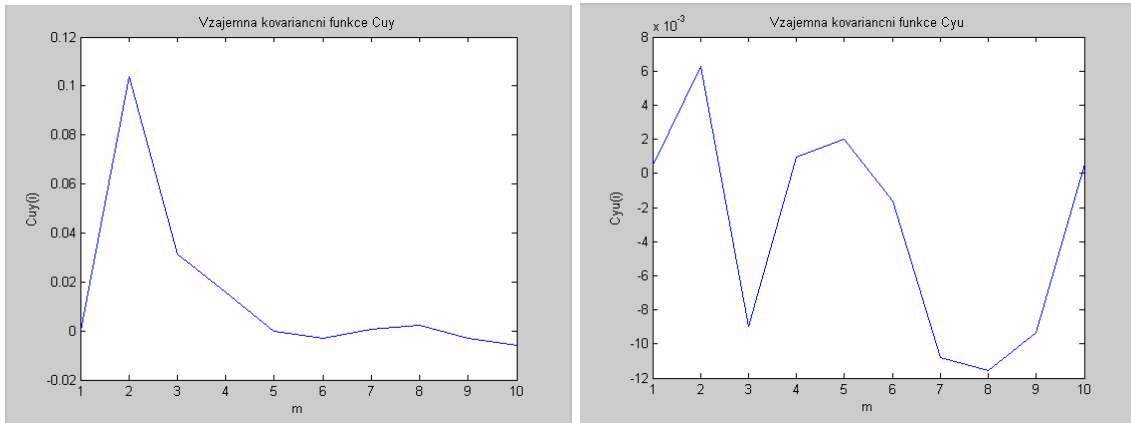


Obrázek 26: Vlevo vzájemná kovarianční funkce C_{yu}, vpravo vzájemná kovarianční funkce C_{yu}

4.12.2 PNBS signály



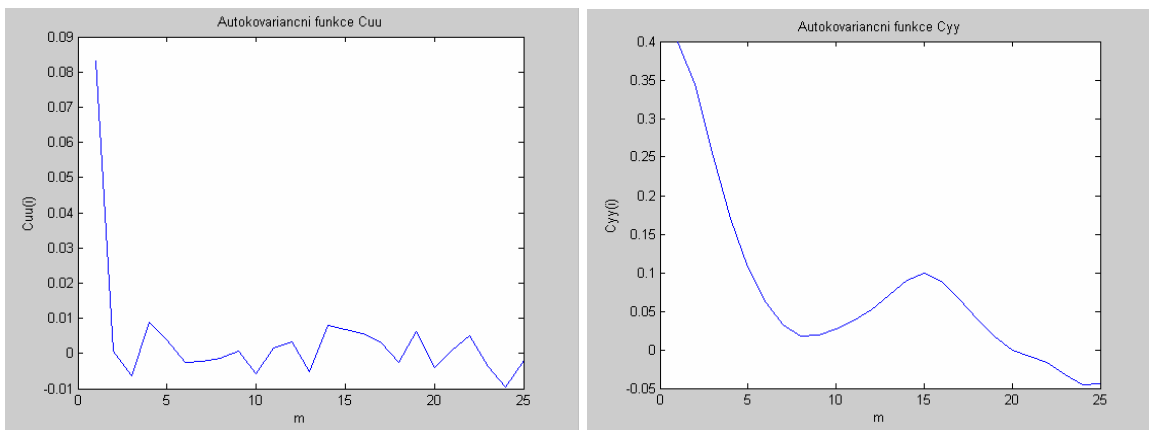
Obrázek 27: Vlevo autokovarianční funkce C_{uu}, vpravo autokovarianční funkce C_{yy}



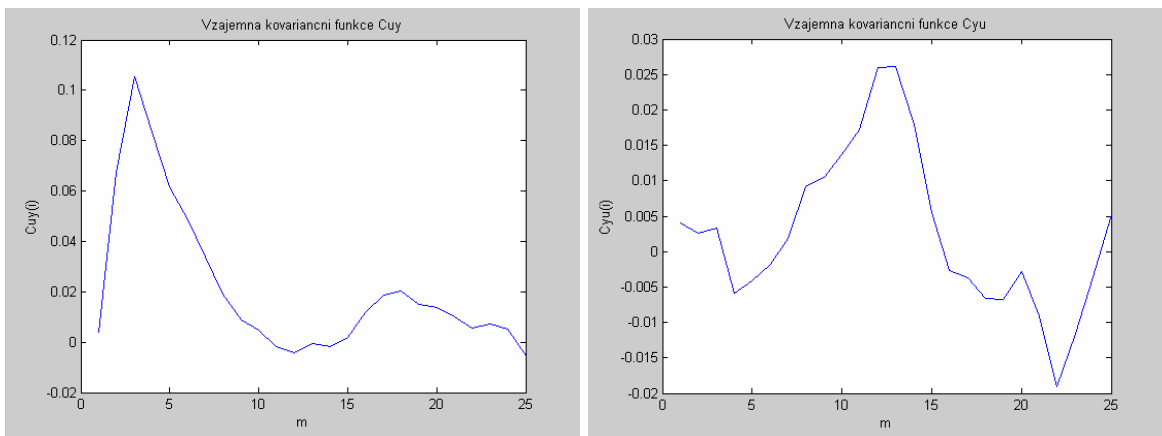
Obrázek28: Vlevo vzájemná kovarianční funkce C_{uy} , vpravo vzájemná kovarianční funkce C_{yu}

4.13 Autokovarianční funkce a vzájemná kovarianční funkce simulace

4.13.1 Náhodné signály

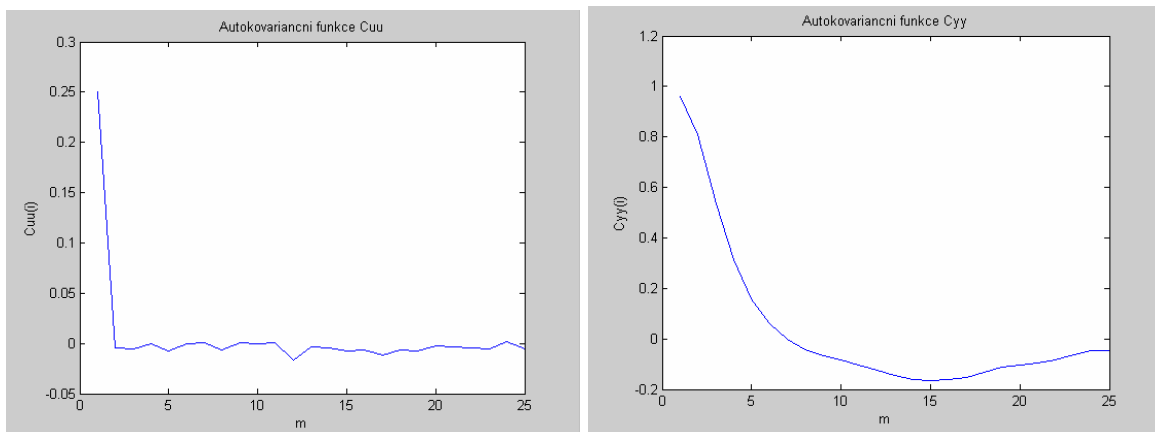


Obrázek29: Vlevo autokovarianční funkce C_{uu} , vpravo autokovarianční funkce C_{yy}

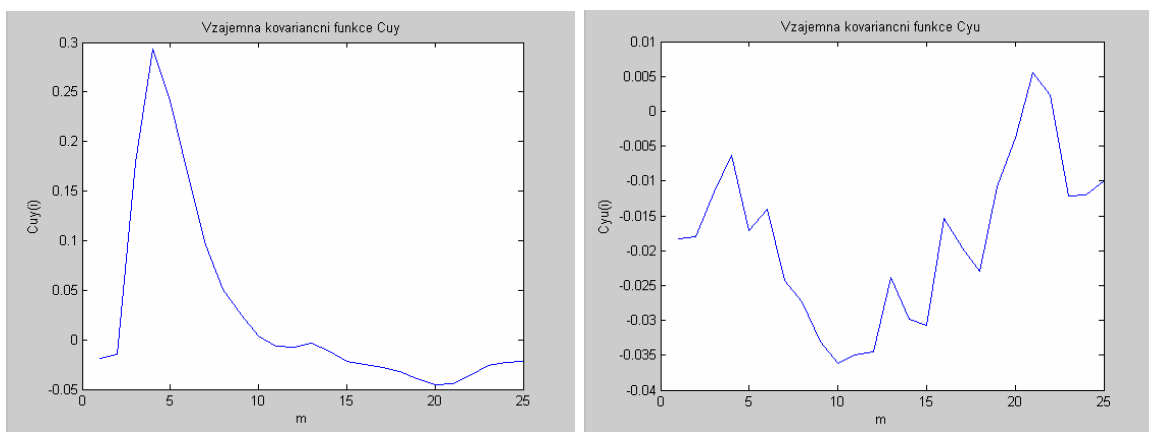


Obrázek30: Vlevo vzájemná kovarianční funkce C_{uy} , vpravo vzájemná kovarianční funkce C_{yu}

4.13.2 PNBS signály



Obrázek 31: Vlevo autokovarianční funkce C_{uu} , vpravo autokovarianční funkce C_{yy}



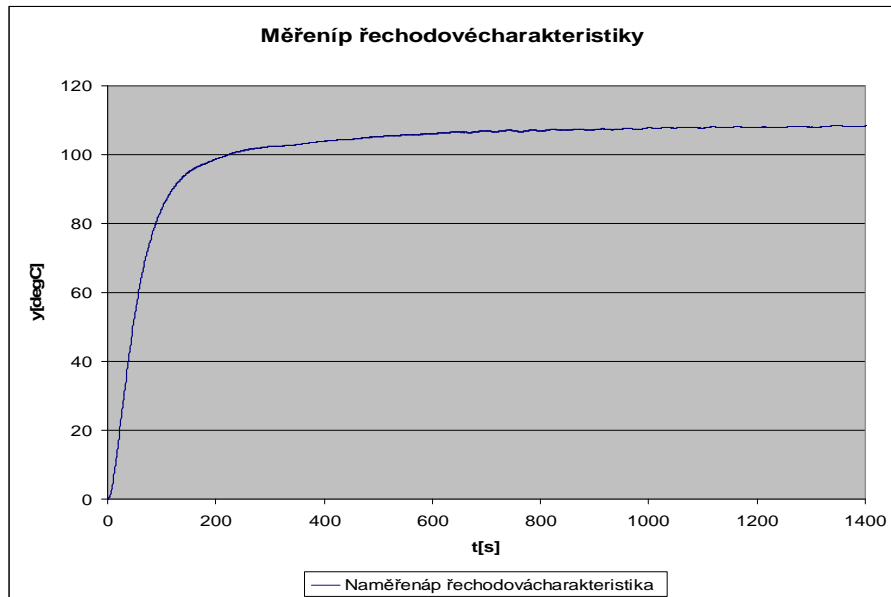
Obrázek 32: Vlevo vzájemná kovarianční funkce C_{uy} , vpravo vzájemná kovarianční funkce C_{yu}

5 VZOROVÉ VYPRACOVÁNÍ PROTOKOLU 2

Název protokolu:

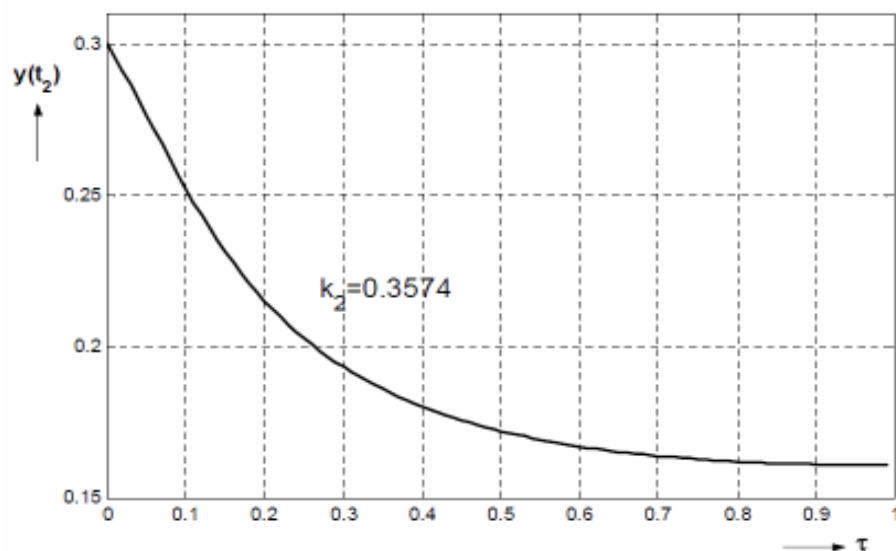
Proměření dynamické soustavy pomocí generátoru PNBS

5.1 Naměření přechodové charakteristiky

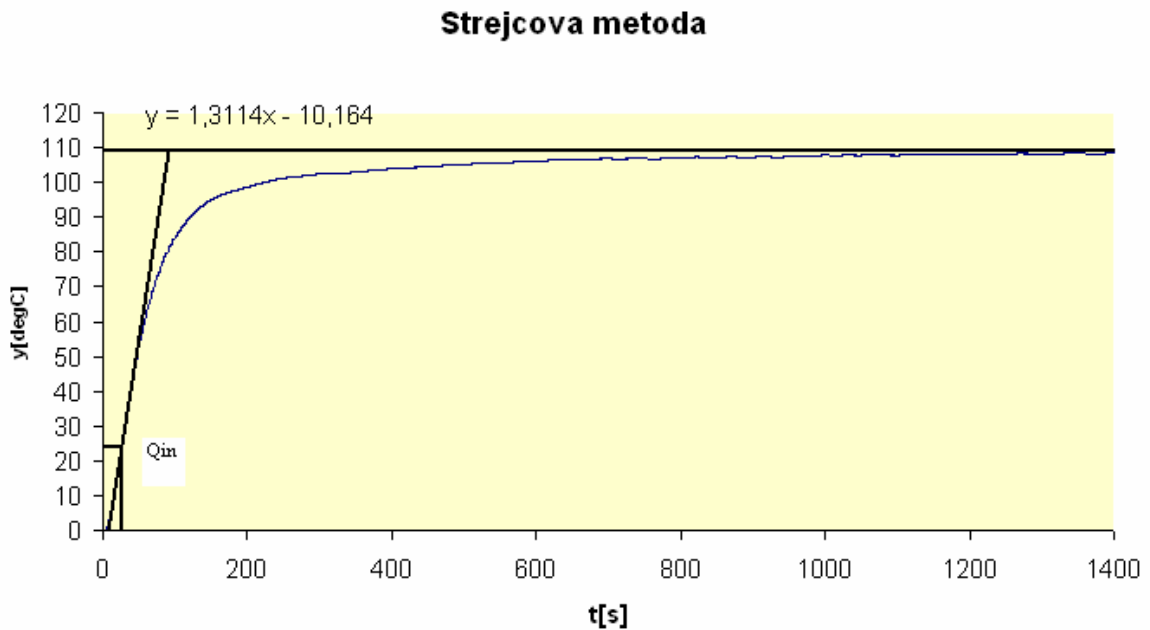


Obrázek 33: Naměření přechodové charakteristiky

5.2 Aproximace přechodové charakteristiky Strejcovou



Obrázek 34: Graf pro určení časové konstanty τ



Obrázek 35: Graf pro Strejcovu metodu inflexním bodem Q_{in}

Rovnice regresní přímky:

$$y = 1,3114 \cdot x - 10,164 \quad 102$$

Ypsilonová souřadnice inflexního bodu Q_{in} byla odečtena z grafu přechodové funkce a vyšla:

$$y = 23,95822$$

Podosazení do rovnice regresní přímky:

$$23,95822 = 1,3114 \cdot x - 10,164 \quad 103$$

Z této rovnice vypočítáme xovou souřadnici inflexního bodu Q_{in} :

$$x = \frac{23,95822 + 10,164}{1,3114} = 26,104$$

Inflexní bod Q_{in} má souřadnice:

$$Q_{in} = [t_{in}; y_{in}] = [26; 23,95822]$$

Z grafu odečteme:

$$T_u = 9s, T_n = 87s$$

Určíme poměr konstant T_u/T_n :

$$\tau_u = \frac{T_u}{T_n} = \frac{9}{87} = 0,103 \quad 105$$

$$0,103 \leq 0,104$$

Z toho vyplývá, že se jedná o soustavu druhého řádu s různými časovými konstantami.

$$y(t_1) = 0,72 \cdot 109 = 78,5s \quad 106$$

Z grafu odečteme t_1 :

$$t_1(y_1) = 60s$$

Vypočítáme součet konstant T_1 a T_2 :

$$T_1 + T_2 = \frac{t_1}{1,2564} = \frac{60}{1,2564} = 47,76s \quad 107$$

Vypočítáme časový úsek:

$$t_2 = 0,3574(T_1 + T_2) = 0,3574 \cdot 47,76 = 17s \quad 108$$

Z grafu odečteme $y(t_2)$:

$$y_2 = 17,5^\circ C$$

Z grafu odečteme poměr časových konstant $\tau = \frac{T_2}{T_1}$:

$$\tau = \frac{T_2}{T_1} = 0,496$$

109

Z rovnice $T_1 + T_2 = \frac{t_1}{1,2564}$ a $\tau = \frac{T_2}{T_1}$ určíme časové konstanty T_1 a T_2 :

$$T_1 = 31,9s, T_2 = 15,86s$$

Zesílení vypočítáme:

$$k = \frac{\Delta y}{\Delta u} = \frac{245}{2,25} = 109 \quad 110$$

Výsledný řenos aproxima ční soustavy:

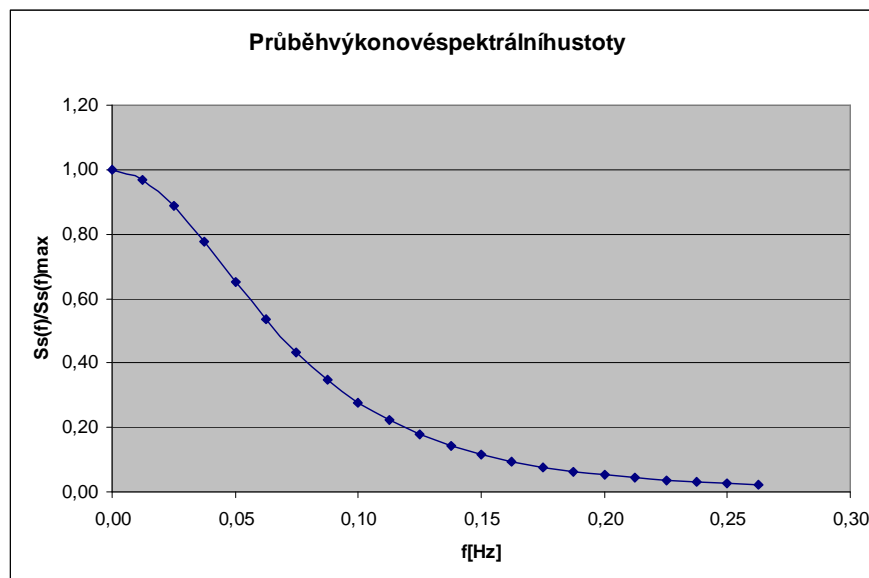
$$G(s) = \frac{k}{(T_1 s + 1)(T_2 s + 1)} = \frac{109}{(31,9s + 1)(15,86s + 1)} \quad 111$$

5.3 Výkonové spektrální hustoty soustavy generátoru P NBS

5.3.1 Měření PNBS

f[Hz]	Ss(f)	Ss(f)/Ssmax	%
0,00	25,000	1,000000	100,00
0,01	24,249	0,969967	97,00
0,03	22,209	0,888356	88,84
0,04	19,386	0,775431	77,54
0,05	16,320	0,652799	65,28
0,06	13,403	0,536131	53,61
0,08	10,841	0,433640	43,36
0,09	8,697	0,347893	34,79
0,10	6,956	0,278236	27,82
0,11	5,565	0,222604	22,26
0,13	4,464	0,178570	17,86
0,14	3,596	0,143843	14,38
0,15	2,912	0,116462	11,65
0,16	2,371	0,094829	9,48
0,18	1,942	0,077675	7,77
0,19	1,600	0,064012	6,40
0,20	1,327	0,053072	5,31
0,21	1,107	0,044266	4,43
0,23	0,928	0,037136	3,71
0,24	0,783	0,031331	3,13
0,25	0,664	0,026576	2,66
0,26	0,567	0,022661	2,27

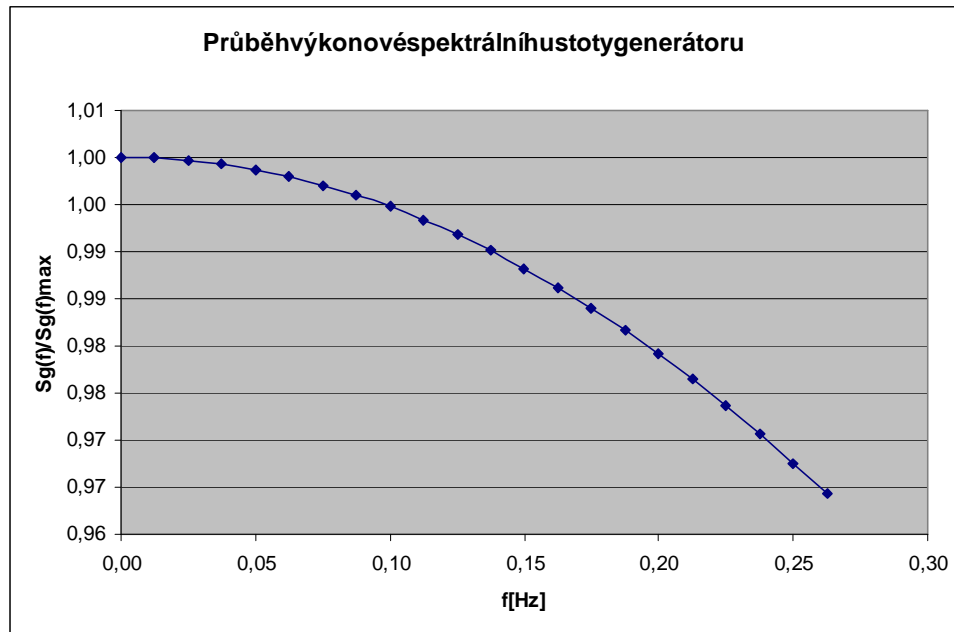
Tabulka 3: Výkonové spektrální hustoty soustavy



Obrázek 36: Průběh výkonové spektrální hustoty

f[Hz]	Sg(f)	Sg(f)/Sgmax	%
0,00	0,400	1,000000	100,00
0,01	0,400	0,999918	99,99
0,03	0,400	0,999671	99,97
0,04	0,400	0,999261	99,93
0,05	0,399	0,998686	99,87
0,06	0,399	0,997948	99,79
0,08	0,399	0,997046	99,70
0,09	0,398	0,995980	99,60
0,10	0,398	0,994753	99,48
0,11	0,397	0,993362	99,34
0,13	0,397	0,991811	99,18
0,14	0,396	0,990098	99,01
0,15	0,395	0,988224	98,82
0,16	0,394	0,986191	98,62
0,18	0,394	0,983999	98,40
0,19	0,393	0,981649	98,16
0,20	0,392	0,979142	97,91
0,21	0,391	0,976479	97,65
0,23	0,389	0,973661	97,37
0,24	0,388	0,970689	97,07
0,25	0,387	0,967564	96,76
0,26	0,386	0,964287	96,43

Tabulka 4: Výkonová spektrální hustota generátoru



Obrázek 37: Průběh výkonové spektrální hustoty generátoru

5.3.2 Simulace PNBS

Zvolené parametry generátoru:

$$\Delta t = 0,4, n = 6, a = 1$$

Kontrola parametru pomocí T_{\max} :

$$G(s) = \frac{5}{2s^2 + 3s + 1} = \frac{k}{T^2 s^2 + 2\xi T s + 1} \Rightarrow T_{\max} = \sqrt{2} \quad 112$$

$$f_{\min} = \frac{0,5}{2\pi T_{\max}} = \frac{0,5}{2\pi\sqrt{2}} = 0,056 \text{ Hz} \quad 113$$

$$f_{\max} = \frac{10}{2\pi T_{\max}} = \frac{10}{2\pi\sqrt{2}} = 1,126 \text{ Hz} \quad 114$$

$$N = 2^n - 1 = 2^6 - 1 = 63 \quad 115$$

$$f_{\text{do ln } i} = \frac{1}{N\Delta t} = \frac{1}{63 \cdot 0,4} = 0,039 \text{ Hz} \quad 116$$

$$f_{\text{horni}} = \frac{0,5}{\Delta t} = \frac{0,5}{0,4} = 1,25 \text{ Hz} \quad 117$$

Porovnání vypočítaných hodnot:

$$f_{\text{dolní}} < f_{\text{min}} \quad \wedge \quad f_{\text{max}} < f_{\text{horní}}$$

$$\Delta t < 0.314 \cdot T_{\text{max}}$$

$$0,4 < 0,444$$

$$N \cdot \Delta t > 12.56 \cdot T_{\text{max}}$$

$$25.2 > 17,76$$

Parametry byly zvoleny vhodně.

Uurčíme průběh výkonové spektrální hustoty generátoru PNBS podle vztahu:

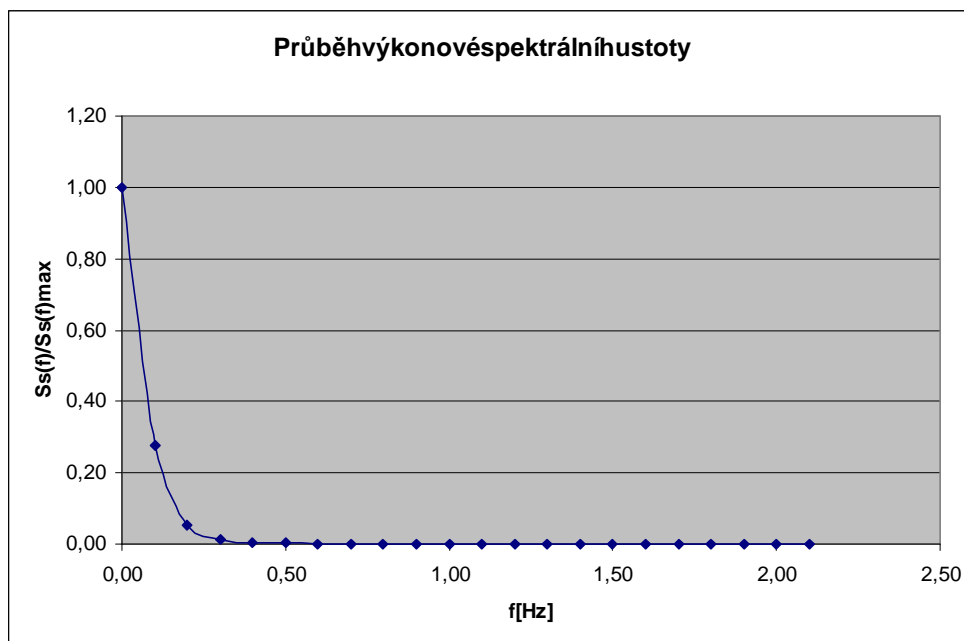
$$S_G(f) = \frac{a^2}{2\pi^2 f^2 \Delta t} (1 - \cos 2\pi f \Delta t) \quad 118$$

Pro $f \rightarrow 0$ je potřeba vypočítat limitu dané funkce $f \rightarrow 0$.

$$\lim_{f \rightarrow 0} S_G(f) = \lim_{f \rightarrow 0} \frac{a^2}{2\pi^2 f^2 \Delta t} (1 - \cos 2\pi f \Delta t) = \lim_{f \rightarrow 0} (a^2 \cos(2\pi \cdot f \cdot \Delta t) \cdot \Delta t) = 1 \cdot \cos(0) \cdot 0,4 = \underline{\underline{0,4}} \quad 119$$

f[Hz]	Ss(f)	Ss(f)/Ssmax	%
0,00	25,000	1,000000	100,00
0,10	6,956	0,278236	27,82
0,20	1,327	0,053072	5,31
0,30	0,362	0,014463	1,45
0,40	0,130	0,005213	0,52
0,50	0,057	0,002277	0,23
0,60	0,028	0,001139	0,11
0,70	0,016	0,000628	0,06
0,80	0,009	0,000374	0,04
0,90	0,006	0,000236	0,02
1,00	0,004	0,000156	0,02
1,10	0,003	0,000107	0,01
1,20	0,002	0,000076	0,01
1,30	0,001	0,000055	0,01
1,40	0,001	0,000041	0,00
1,50	0,001	0,000031	0,00
1,60	0,001	0,000024	0,00
1,70	0,000	0,000019	0,00
1,80	0,000	0,000015	0,00
1,90	0,000	0,000012	0,00
2,00	0,000	0,000010	0,00
2,10	0,000	0,000008	0,00

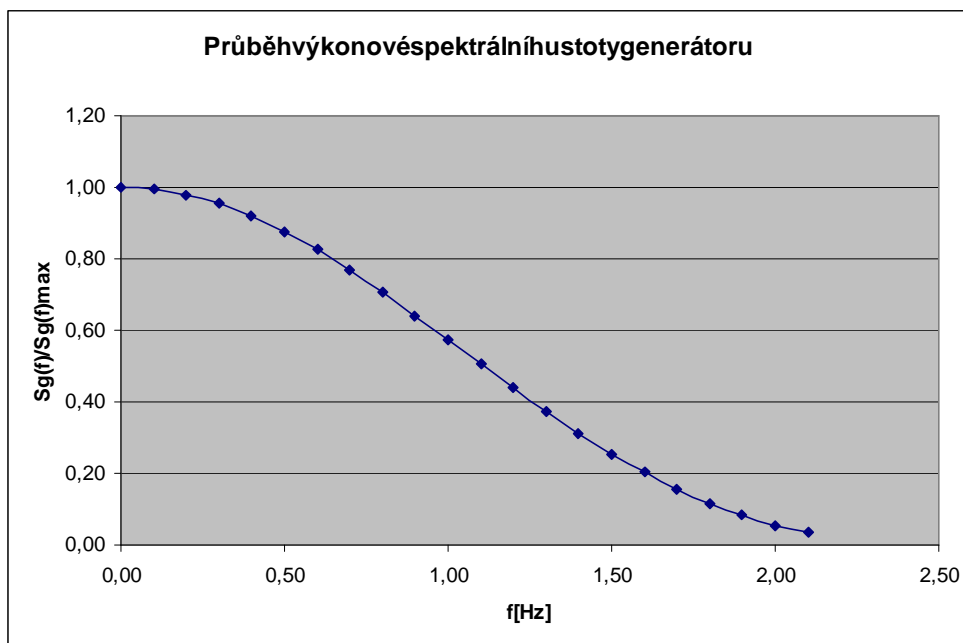
Tabulka 5: Výkonové spektrální hustoty ustálené soustavy



Obrázek 38: Průběh výkonové spektrální hustoty

f [Hz]	$S_g(f)$	$S_g(f)/S_{gmax}$	%
0,00	0,400	1,000000	100,00
0,10	0,398	0,994753	99,48
0,20	0,392	0,979142	97,91
0,30	0,381	0,953561	95,36
0,40	0,367	0,918646	91,86
0,50	0,350	0,875260	87,53
0,60	0,330	0,824463	82,45
0,70	0,307	0,767475	76,75
0,80	0,282	0,705638	70,56
0,90	0,256	0,640372	64,04
1,00	0,229	0,573130	57,31
1,10	0,202	0,505354	50,54
1,20	0,175	0,438430	43,84
1,30	0,149	0,373649	37,36
1,40	0,125	0,312169	31,22
1,50	0,102	0,254988	25,50
1,60	0,081	0,202921	20,29
1,70	0,063	0,156582	15,66
1,80	0,047	0,116375	11,64
1,90	0,033	0,082497	8,25
2,00	0,022	0,054944	5,49
2,10	0,013	0,033523	3,35

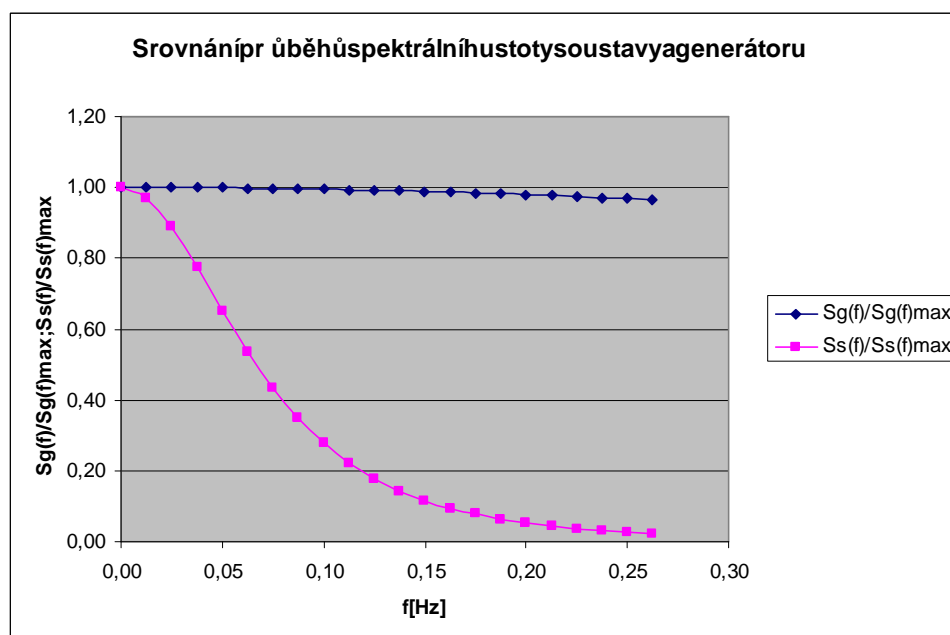
Tabulka 6: Výkonová spektrální hustota generátoru



Obrázek 39: Průběh výkonové spektrální hustoty generátoru

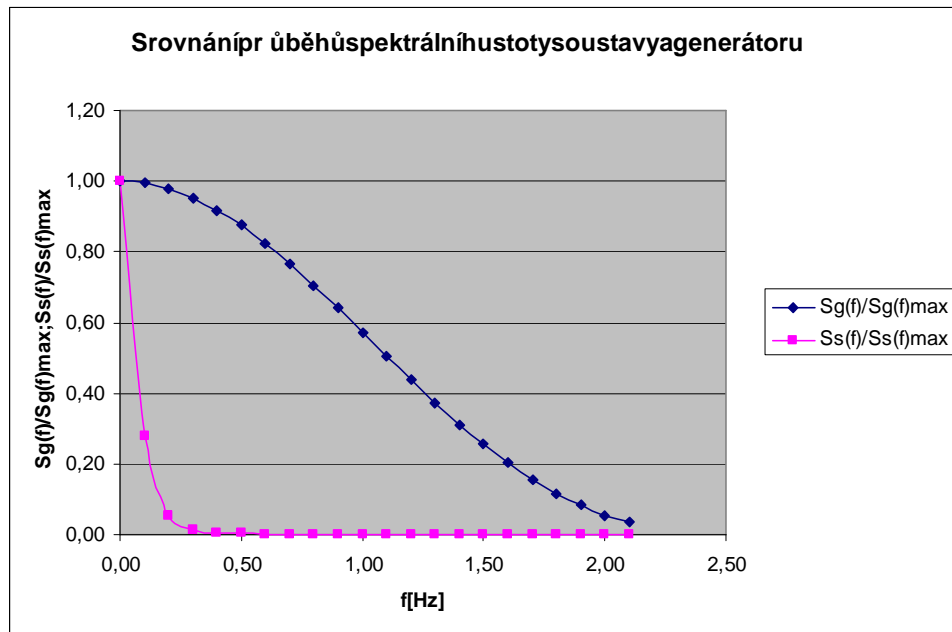
5.4 Srovnání průběhů výkonové spektrální hustoty soustavy a generátoru PNBS

5.4.1 Měření PNBS



Obrázek 40: Srovnání průběhů spektrální hustoty soustavy a generátoru

5.4.2 Simulace PNBS



Obrázek 41: Srovnání průběhů spektrální hustoty soustavy generátoru

5.5 Diskrétní řešení diferenční rovnice

Diskrétní řešení

Perioda vzorkování byla zvolena $T_0 = \Delta t = 0,4s$.

Diskrétní řešení bylo určeno zadaného řešení soustavy pomocí funkce Matlabu `c2dm`.

$$[n,d] = c2dm(5,[231],0.4) \quad 120$$

Diskrétní řešení má tvar:

$$G_s(z) = \frac{Y(z)}{U(z)} = \frac{0,1643z^{-1} + 0,1345z^{-2}}{1 - 1,489z^{-1} + 0,5488z^{-2}} \quad 121$$

Diferenční rovnice

Tento řešení lze řešit pomocí diferenční rovnice:

$$y(k) = 1,489y(k-1) - 0,5488y(k-2) + 0,1643u(k-1) + 0,1345u(k-2) \quad 122$$

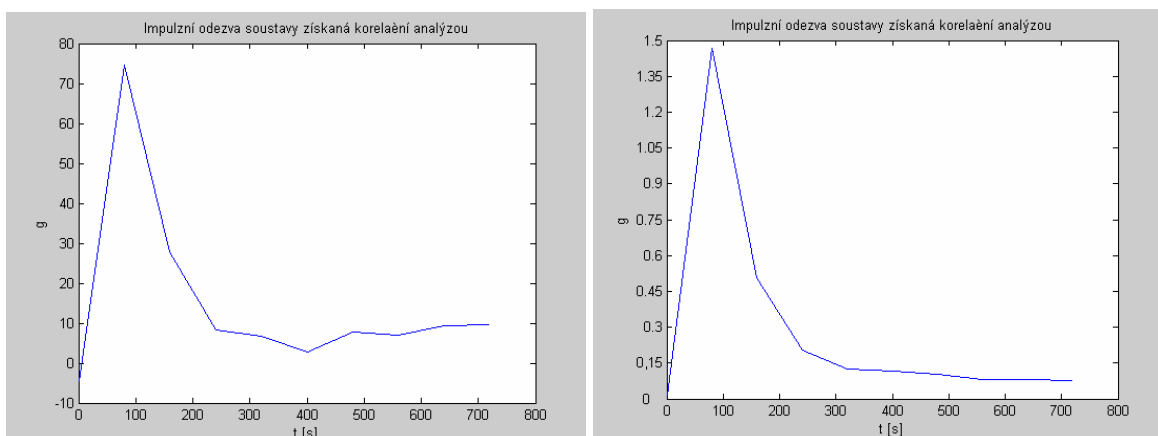
6 VZOROVÉVYPRACOVÁNÍPROTOKOLU3

Názevprotokolu:

Výpočetimpulsnífunkcepomocíkorelačníanalýzy

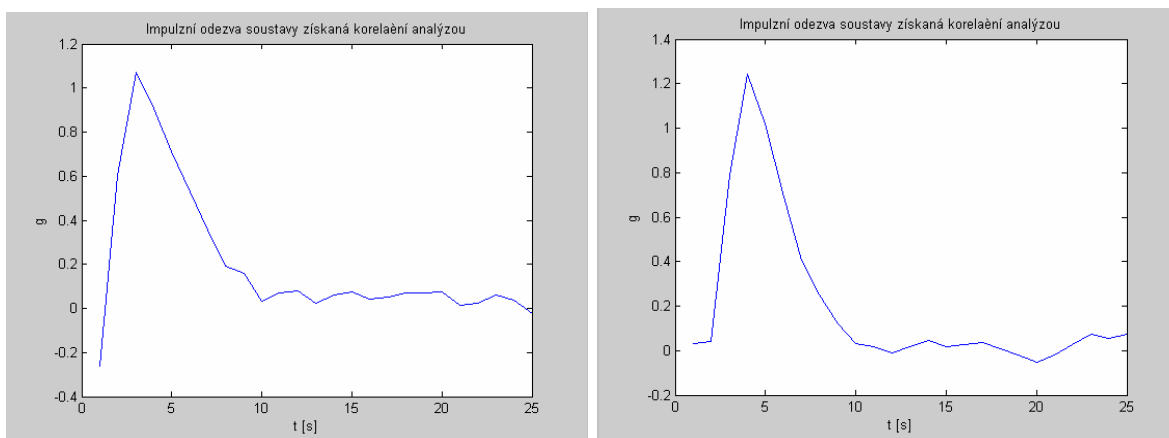
6.1 Impulsnífunkcezískanékorelačníanalýzou

6.1.1 Měření



Obrázek42:Vlevo korelační analýza pro náhodný signál, vpravo pro signál PN BS

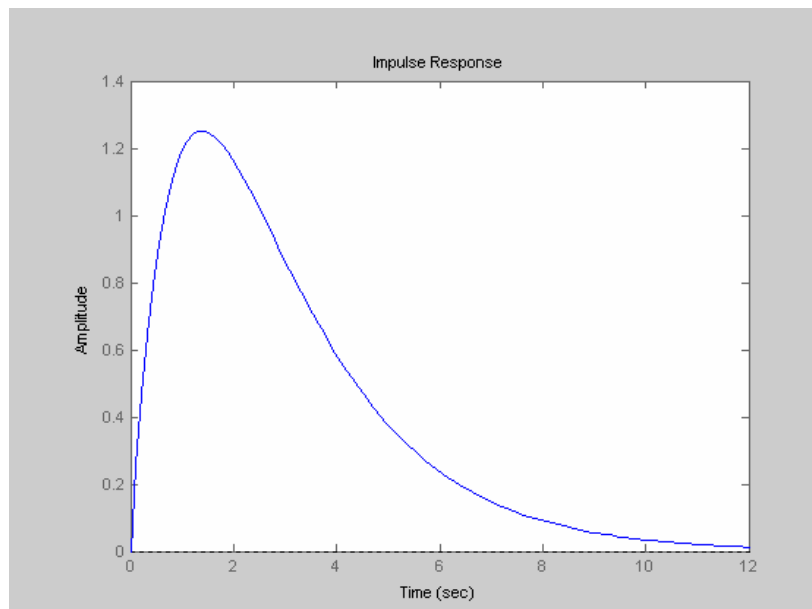
6.1.2 Simulace



Obrázek43:Vlevo korelační analýza pro náhodný signál, vpravo pro signál PN BS

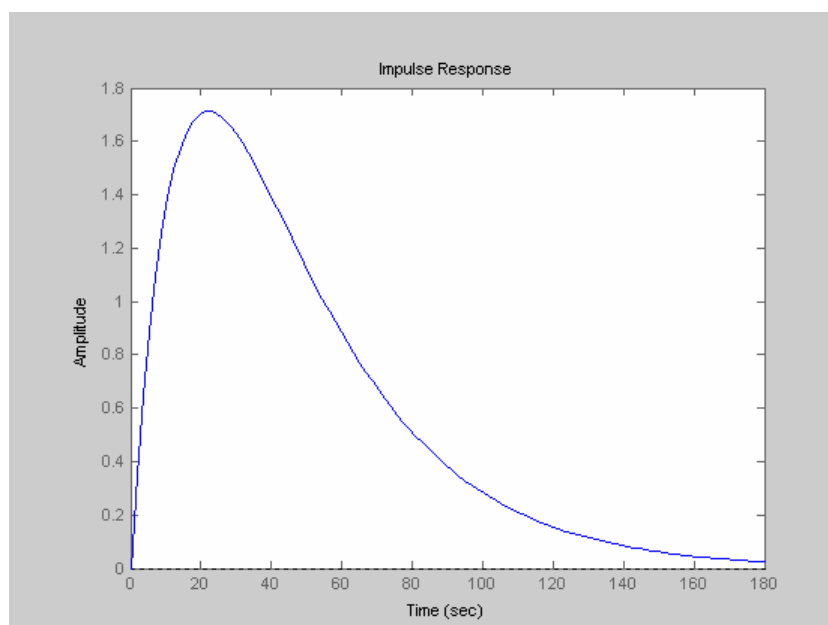
6.2 Impulsní funkce získané z řízení impulsem

6.2.1 Zadaný řenos



Obrázek 44: Impulsní charakteristika zadaného přenosu soustavy

6.2.2 Aproximační řenos



Obrázek 45: Impulsní charakteristika reálné soustavy z přenosu získané aproximací Strejcovou metodou

7 VZOROVĚVYPRACOVÁNĪPROTOKOLU4

Názevprotokolu:

Odhadparametr ů ěislicověhomodelumetodounejmenšěch ětverců

7.1 Metodanejenšěch ětvercůpronam ěřenádata

7.1.1 Explicitněmetoda

	a_1	a_2	b_1	b_2
Náhodný signál	-0.95501	0.15268	72.819	-43.935
PNBS	-1.2017	0.26259	0.41759	-0.36919

Tabulka7:Parametryvypo ěítanéexplicitněMN ě

7.1.2 Rekurzivněmetoda

	a_1	a_2	b_1	b_2
Náhodný signál	-0.95501	0.15268	72.819	-43.935
PNBS	-1.0973	0.21895	0.41957	-0.32315

Tabulka8:Parametryvypo ěítanérekurzivněMN ě

7.2 Metodanejenšěch ětvercůpronasimulovanádata

7.2.1 Explicitněmetoda

	a_1	a_2	b_1	b_2
Náhodný signál	-0.96876	0.21853	0.77544	0.47341
PNBS	-0.96905	0.22101	0.77843	0.47356

Tabulka9:Parametryvypo ěítanéexplicitněMN ě

7.2.2 Rekurzivní metoda

	a_1	a_2	b_1	b_2
Náhodný signál	-0.96876	0.21853	0.77544	0.47342
PNBS	-0.96905	0.22101	0.77843	0.47356

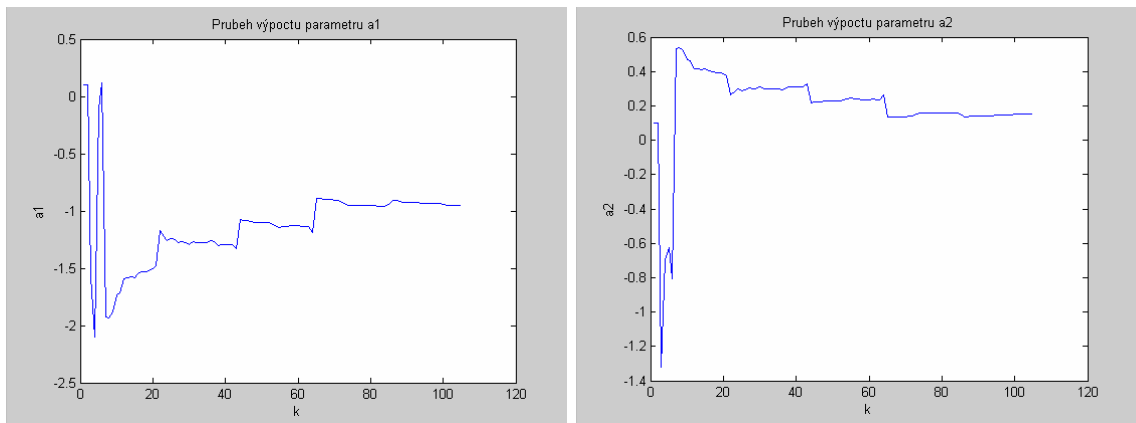
Tabulka 10: Parametry výpočtu

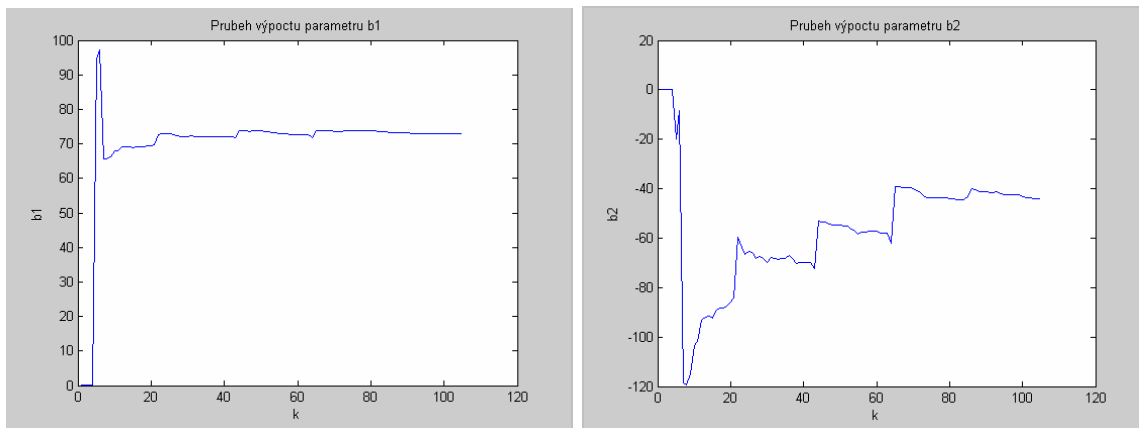
četané rekurzivní MNČ

7.3 Grafické zobrazení odhadů parametrů a predikce řešení

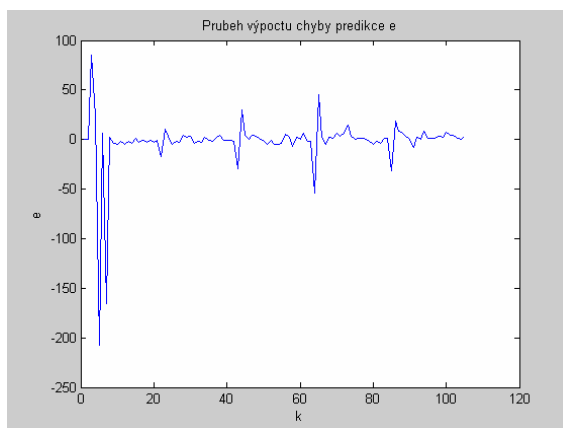
Při průběhu výpočtu parametrů u řešení náhodným signálem jsou zřejmé poklesy. Ty jsou způsobeny pozastavováním řešení v jeho průběhu. Měření muselo být pozastavováno, protože program W-Control neumožnil zadat více jak 20 náhodných hodnot a v programu Matlab nebylo toto řešení vzhledem ke staršímu hardwaru možné provádět.

7.3.1 Náhodný signál

Obrázek 46: Vlevo výpočet parametru a_1 , vpravo výpočet parametru a_2

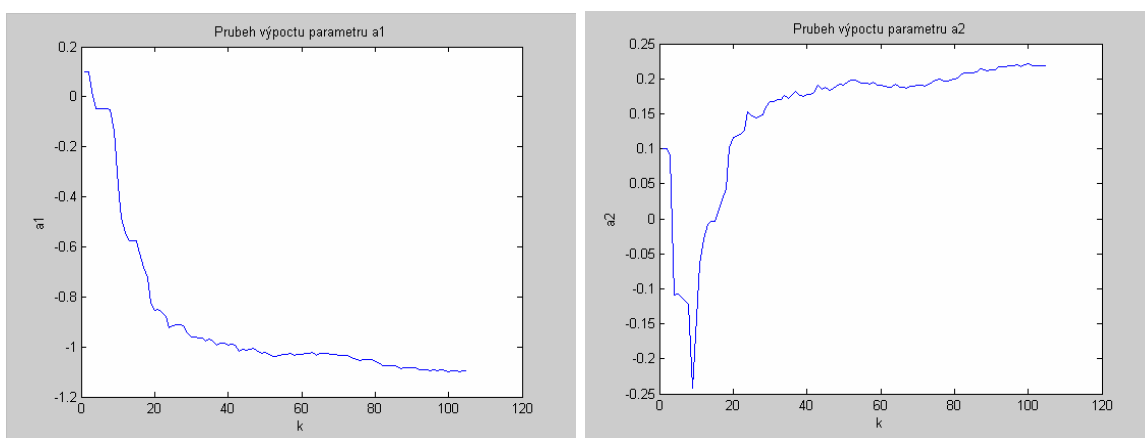


Obrázek 47: Vlevo výpočet parametru b_1 , vpravo výpočet parametru b_2

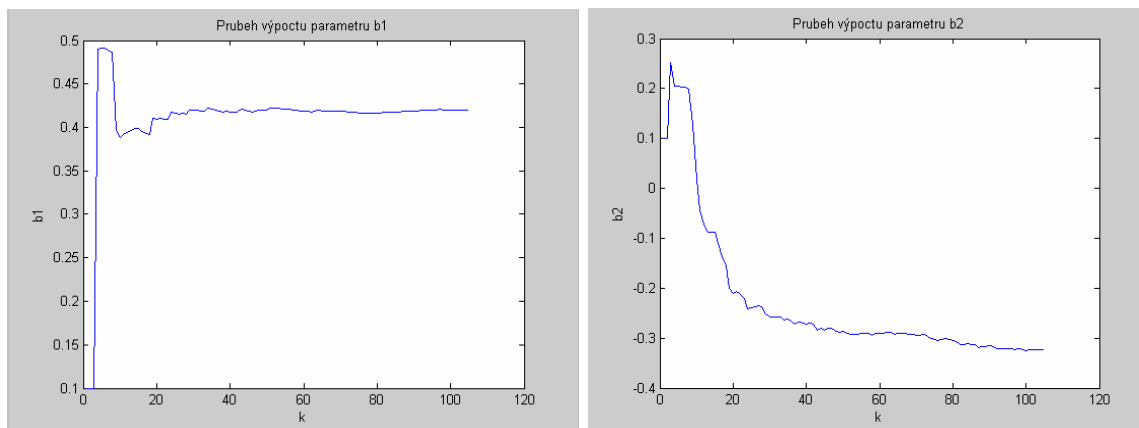
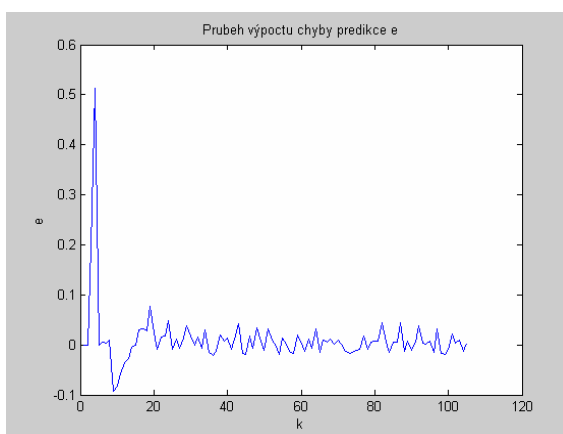


Obrázek 48: Výpočet chyby predikce

7.3.2 PNBS

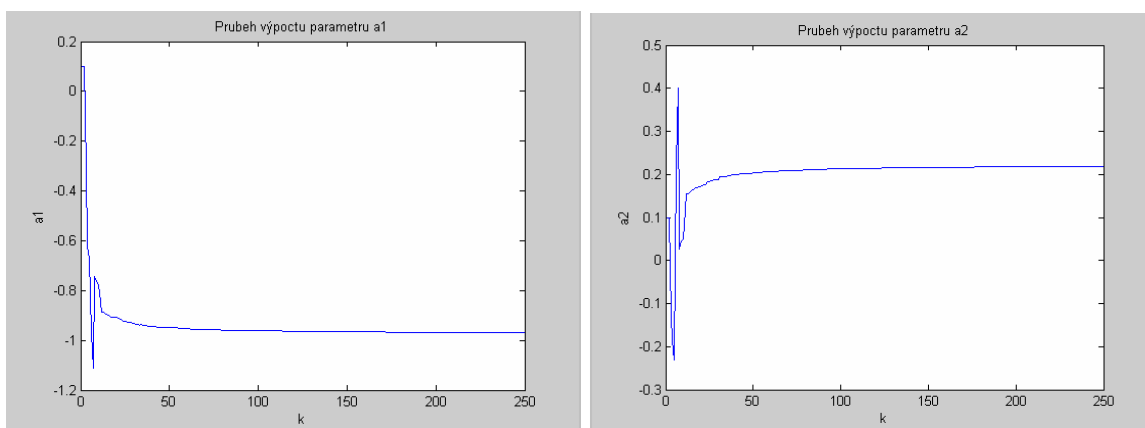


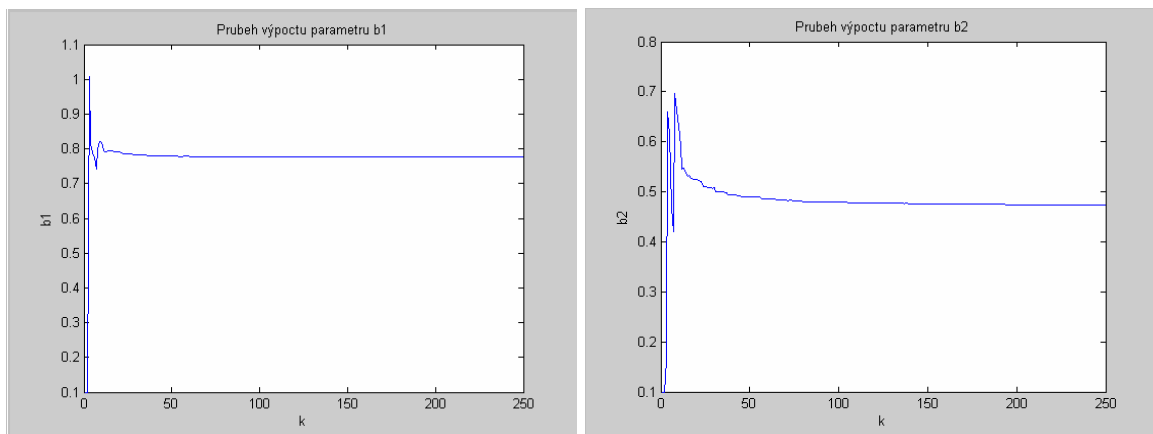
Obrázek 49: Vlevo výpočet parametru a_1 , vpravo výpočet parametru a_2

Obrázek50: Vlevo výpočet parametru b_1 , vpravo výpočet parametru b_2 Obrázek51: Výpočet chyby predikce e

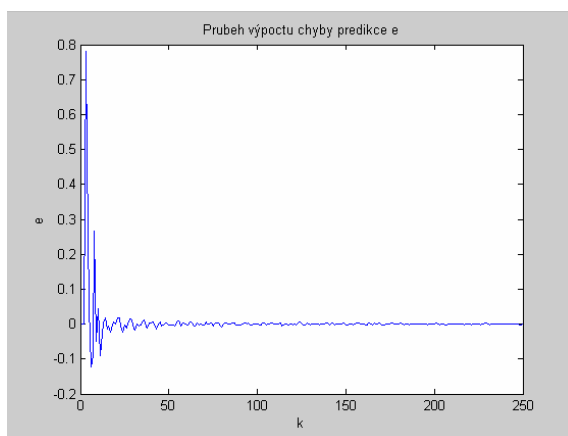
7.4 Grafické zobrazení odhadů parametrů a predikce simulace

7.4.1 Náhodný signál

Obrázek52: Vlevo výpočet parametru a_1 , vpravo výpočet parametru a_2

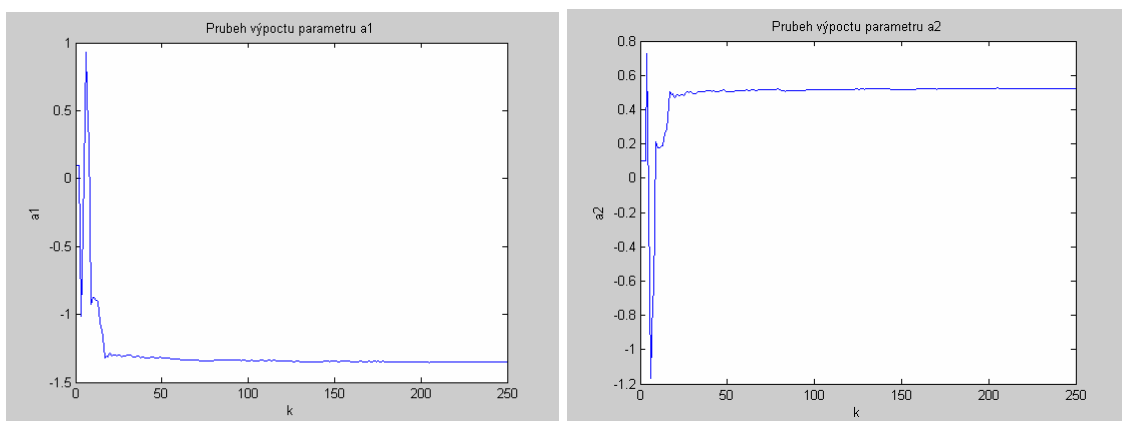


Obrázek53: Vlevo výpočet parametru b_1 , vpravo výpočet parametru b_2

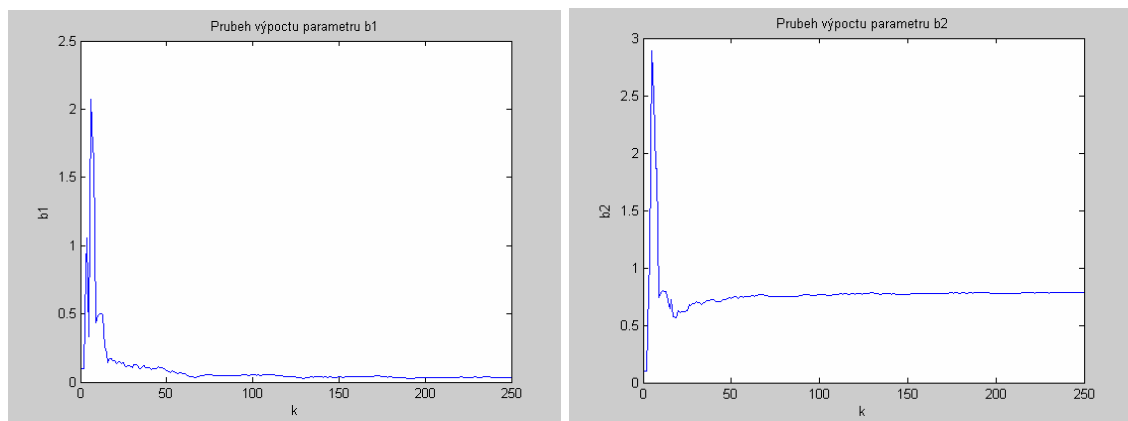


Obrázek54: Výpočet chyby predikce e

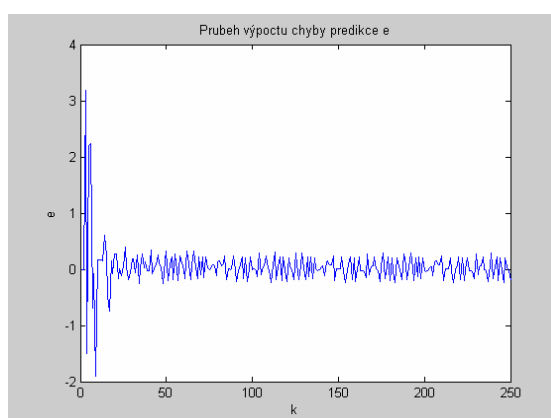
7.4.2 PNBS



Obrázek55: Vlevo výpočet parametru a_1 , vpravo výpočet parametru a_2



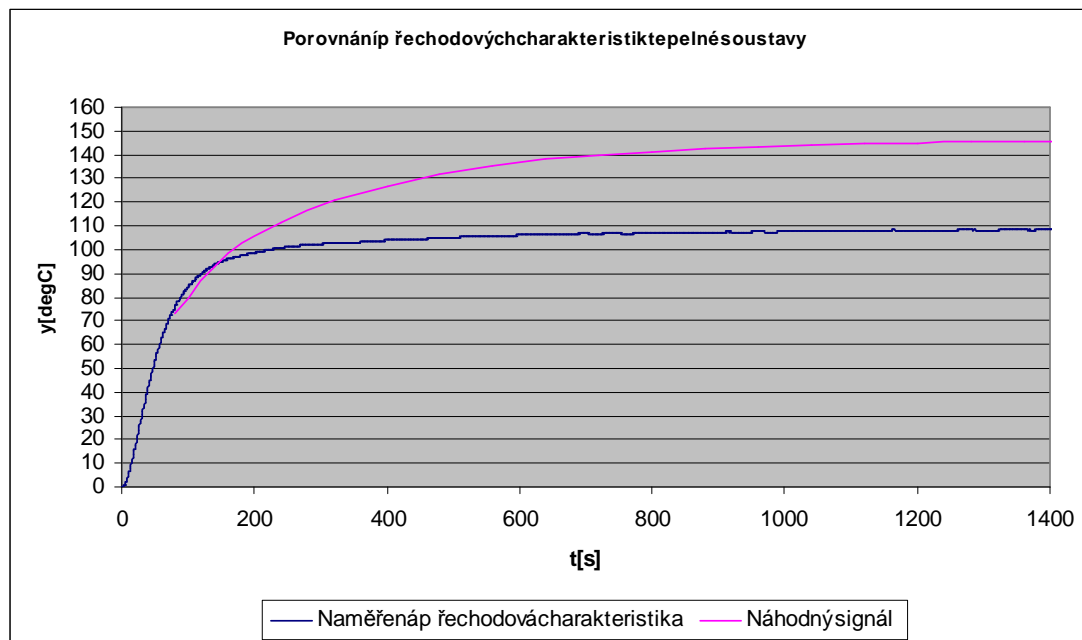
Obrázek56: Vlevo výpočet parametru b_1 , vpravo výpočet parametru b_2



Obrázek57: Výpočet chyby predikce

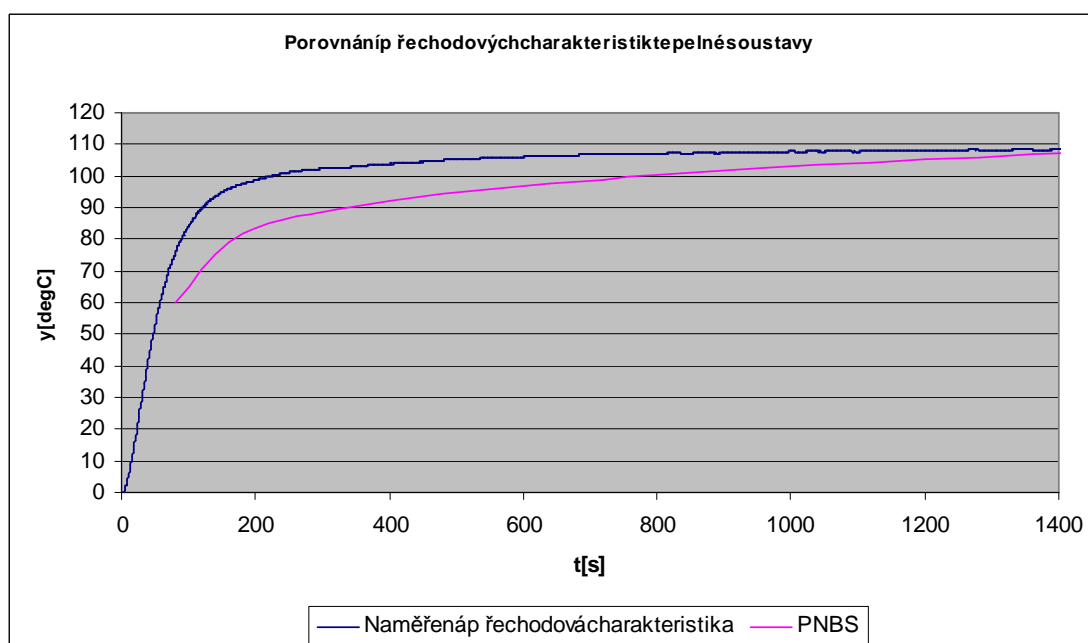
7.5 Srovnání přechodových charakteristik řešení

7.5.1 Náhodný signál



Obrázek 58: Porovnání přechodových charakteristik tepelné soustavy

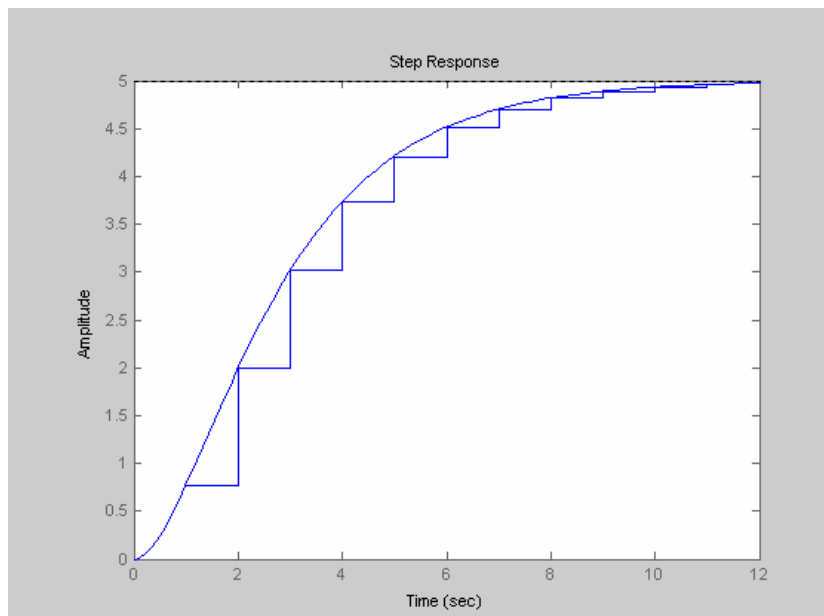
7.5.2 PNBS



Obrázek 59: Porovnání přechodových charakteristik tepelné soustavy

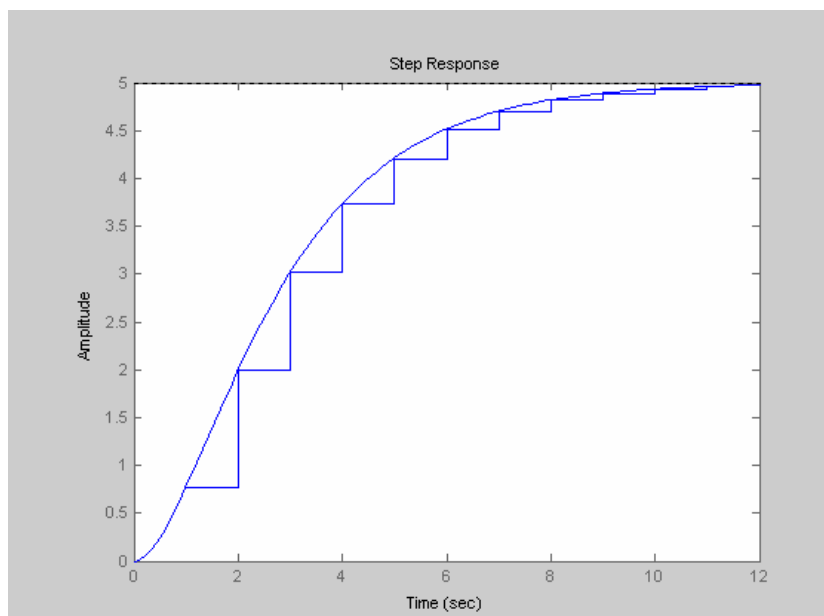
7.6 Srovnání řečodových charakteristik simulace

7.6.1 Náhodný signál



Obrázek60: Porovnání řečodových charakteristik tepelné soustavy

7.6.2 PNBS



Obrázek61: Porovnání řečodových charakteristik tepelné soustavy

ZÁVĚR

Cílem této práce bylo navrhnout a vypracovat čtyři laboratorní úlohy pro předmět Identifikace náhodných procesů.

Bakalářská práce byla rozložena na dvě části. V teoretické části jsem se zaměřil na teorii k problematice náhodných procesů, signálů PNBS, metodě nejmenších čtverců a korelační analýze. Praktická část obsahuje zadání čtyřmi navržených laboratorních úloh a jejich vypracování.

Při vypracovávání této bakalářské práce jsem si prohloubil znalosti předmětu Identifikace systémů.

Všechny vypracované materiály, naměřená data a zdrojové kódy programu Matlab jsou přiloženy na CD.

CONCLUSION

The main aim of this work was design and elaboration of four laboratory tasks for subject identification of random processes.

The thesis is divided into two parts: a theoretical part and a practical part. The theoretical part is focused on the problems of the theory of stochastic processes, PRBS, the least squares method and correlation analysis. The practical part contains four proposed laboratory tasks and their elaboration.

All elaborated materials, the measured data and source codes for Matlab are included in the enclosed CD.

SEZNAM POUŽITÉ LITERATURY

- [1] Kubalčík M.: Cvičení z předmětu identifikací systémů, UTB ve Zlíně, 2006.
- [2] Bobál V.: Identifikací systémů, UTB ve Zlíně.
- [3] Noskovič P.: Modelování identifikací systémů, Montanex, 1999.
- [4] Balátě J.: Automatické řízení, BEN, 2003.
- [5] Mikeš J., Fikar M.: Identifikací systémů, STU Bratislava, 1999..

SEZNAM POUŽITÝCH SYMBOLŮ A ZKRATEK

PNBS	pseudonáhodný binární signál
MNČ	metoda nejmenších čtverců
$G_{(s)}$	operátorový přenos
$G_{(z)}$	diskrétní přenos
ω	Kruhová frekvence
f	frekvence
k	zesílení
T	perioda
n	počet stupňů registru
μ	střední hodnota
σ^2	rozptyl
R_{uu}	korelační funkce
C_{uu}	kovarianční funkce
Δt	interval hodinových impulsů
N	Bezrozměrná perioda
T_1, T_2	časové konstanty
f_{ef}	efektivní frekvenční pásmo
Q_{in}	inflexní bod

SEZNAM OBRÁZKŮ

Obrázek 1: Blokové schéma generátoru PNBS.....	16
Obrázek 2: Časový průběh PNBS a jeho autokorelační funkce.....	18
Obrázek 3: Logaritmická amplitudová frekvenční charakteristika 1. řádu.....	21
Obrázek 4: Průchodná hodnota signálu lineárním dynamickým systémem.....	26
Obrázek 5: Normovaná přechodová charakteristika statické soustavy vyššího řádu.....	30
Obrázek 6: Průběh vstupní veličiny v závislosti na čase.....	37
Obrázek 7: Průběh výstupní veličiny v závislosti na čase.....	37
Obrázek 8: Průběh vstupní veličiny v závislosti na čase.....	38
Obrázek 9: Průběh výstupní veličiny v závislosti na čase.....	38
Obrázek 10: Schéma pro simulaci náhodného signálu v Simulinku.....	39
Obrázek 11: Průběh vstupní veličiny v závislosti na čase.....	39
Obrázek 12: Průběh výstupní veličiny v závislosti na čase.....	40
Obrázek 13: Schéma pro simulaci signálu PNBS v Simulinku.....	40
Obrázek 14: Průběh vstupní veličiny v závislosti na čase.....	41
Obrázek 15: Průběh výstupní veličiny v závislosti na čase.....	41
Obrázek 16: Přechodová charakteristika získaná simulací.....	42
Obrázek 17: Vlevo autokorelační funkce R_{uu} , vpravo autokorelační funkce R_{yy}	46
Obrázek 18: Vlevo vzájemná autokorelační funkce R_{uy} , vpravo vzájemná autokorelační funkce R_{yu}	47
Obrázek 19: Vlevo autokorelační funkce R_{uu} , vpravo autokorelační funkce R_{yy}	47
Obrázek 20: Vlevo vzájemná autokorelační funkce R_{uy} , vpravo vzájemná autokorelační funkce R_{yu}	47
Obrázek 21: Vlevo autokorelační funkce R_{uu} , vpravo autokorelační funkce R_{yy}	48
Obrázek 22: Vlevo vzájemná autokorelační funkce R_{uy} , vpravo vzájemná autokorelační funkce R_{yu}	48
Obrázek 23: Vlevo autokorelační funkce R_{uu} , vpravo autokorelační funkce R_{yy}	49
Obrázek 24: Vlevo vzájemná autokorelační funkce R_{uy} , vpravo vzájemná autokorelační funkce R_{yu}	49
Obrázek 25: Vlevo autokovarianční funkce C_{uu} , vpravo autokovarianční funkce C_{yy}	50
Obrázek 26: Vlevo vzájemná kovarianční funkce C_{uy} , vpravo vzájemná kovarianční funkce C_{yu}	50

Obrázek 27: Vlevoautokovarianční funkce C_{uu} , vpravoautokovarianční funkce C_{yy}	50
Obrázek 28: Vlevo vzájemná kovarianční funkce C_{uy} , vpravo vzájemná kovarianční funkce C_{yu}	51
Obrázek 29: Vlevoautokovarianční funkce C_{uu} , vpravoautokovarianční funkce C_{yy}	51
Obrázek 30: Vlevo vzájemná kovarianční funkce C_{uy} , vpravo vzájemná kovarianční funkce C_{yu}	51
Obrázek 31: Vlevoautokovarianční funkce C_{uu} , vpravoautokovarianční funkce C_{yy}	52
Obrázek 32: Vlevo vzájemná kovarianční funkce C_{uy} , vpravo vzájemná kovarianční funkce C_{yu}	52
Obrázek 33: Naměřená přechodová charakteristika.....	53
Obrázek 34: Graf průřezu časové konstanty τ	53
Obrázek 35: Graf pro Strejcovu metodu s inflexním bodem Q_{in}	54
Obrázek 36: Průběh výkonové spektrální hustoty.....	57
Obrázek 37: Průběh výkonové spektrální hustoty generátoru.....	58
Obrázek 38: Průběh výkonové spektrální hustoty.....	60
Obrázek 39: Průběh výkonové spektrální hustoty generátoru.....	61
Obrázek 40: Srovnání průběhů spektrální hustoty soustavy a generátoru.....	61
Obrázek 41: Srovnání průběhů spektrální hustoty soustavy a generátoru.....	62
Obrázek 42: Vlevo korelační analýza pro náhodný signál, vpravo pro signál PN BS.....	63
Obrázek 43: Vlevo korelační analýza pro náhodný signál, vpravo pro signál PN BS.....	63
Obrázek 44: Impulsní charakteristika zadaného přenosu soustavy.....	64
Obrázek 45: Impulsní charakteristika reálné soustavy z přenosu získaného aproximací Strejcovou metodou.....	64
Obrázek 46: Vlevo výpočet parametru a_1 , vpravo výpočet parametru a_2	66
Obrázek 47: Vlevo výpočet parametru b_1 , vpravo výpočet parametru b_2	67
Obrázek 48: Výpočet chyby predikce.....	67
Obrázek 49: Vlevo výpočet parametru a_1 , vpravo výpočet parametru a_2	67
Obrázek 50: Vlevo výpočet parametru b_1 , vpravo výpočet parametru b_2	68
Obrázek 51: Výpočet chyby predikce.....	68
Obrázek 52: Vlevo výpočet parametru a_1 , vpravo výpočet parametru a_2	68
Obrázek 53: Vlevo výpočet parametru b_1 , vpravo výpočet parametru b_2	69
Obrázek 54: Výpočet chyby predikce.....	69
Obrázek 55: Vlevo výpočet parametru a_1 , vpravo výpočet parametru a_2	69

Obrázek 56: Vlevo výpočet parametrů τ_1 , vpravo výpočet parametrů τ_2	70
Obrázek 57: Výpočet chyby predikce	70
Obrázek 58: Porovnání přechodových charakteristik tepelné soustavy	71
Obrázek 59: Porovnání přechodových charakteristik tepelné soustavy	71
Obrázek 60: Porovnání přechodových charakteristik tepelné soustavy	72
Obrázek 61: Porovnání přechodových charakteristik tepelné soustavy	72

SEZNAM TABULEK

Tabulka 1: Pravdivostní tabulka.....	16
Tabulka 2: Propojení zpětné vazby regulátoru PNBS.....	17
Tabulka 3: Výkonové spektrální hustoty soustavy....	56
Tabulka 4: Výkonové spektrální hustoty generátoru..	57
Tabulka 5: Výkonové spektrální hustoty soustavy....	59
Tabulka 6: Výkonové spektrální hustoty generátoru..	60
Tabulka 7: Parametry vypočítané explicitně MN Č.....	65
Tabulka 8: Parametry vypočítané rekurzivně MN Č.....	65
Tabulka 9: Parametry vypočítané explicitně MN Č.....	65
Tabulka 10: Parametry vypočítané rekurzivně MN Č.....	66

SEZNAM PŘÍLOH

P1: Přenosné médium CD spracované formátu PDF, naměřená data a zdrojové kódy Matlabu